# Vorlesungsskript Graphalgorithmen

Sommersemester 2021

Prof. Dr. Johannes Köbler Humboldt-Universität zu Berlin Lehrstuhl Komplexität und Kryptografie

# In halts verzeichn is

1	Gra	phentheoretische Grundlagen	1
2	Fär	ben von Graphen	3
	2.1	Färben von planaren Graphen	4
	2.2	Färben von chordalen Graphen	10
	2.3	Der Satz von Brooks	17
	2.4	Kantenfärbungen	18
3	Flü	sse in Netzwerken	22
	3.1	Der Ford-Fulkerson-Algorithmus	22
	3.2	Der Edmonds-Karp-Algorithmus	27
	3.3	Der Algorithmus von Dinitz	28
	3.4	Kostenoptimale Flüsse	36

# 1 Graphentheoretische Grundlagen

**Definition 1.1.** Ein (ungerichteter) Graph ist ein Paar G = (V, E), wobei

V - eine endliche Menge von Knoten/Ecken und

E - die Menge der Kanten ist.

Hierbei gilt

$$E \subseteq \binom{V}{2} = \left\{ \{u, v\} \subseteq V \mid u \neq v \right\}.$$

 $Sei \ v \in V \ ein \ Knoten.$ 

- a) Die Nachbarschaft von v ist  $N_G(v) = \{u \in V \mid \{u, v\} \in E\}.$
- b) Der Grad von v ist  $\deg_G(v) = |N_G(v)|$ .
- c) Der Minimalgrad von G ist  $\delta(G) = \min_{v \in V} \deg_G(v)$  und der Maximalgrad von G ist  $\Delta(G) = \max_{v \in V} \deg_G(v)$ .
- d) Jeder Knoten  $u \in V$  vom  $Grad \leq 1$  heißt **Blatt** und die übrigen Knoten (vom  $Grad \geq 2$ ) heißen **innere Knoten** von G.

Falls G aus dem Kontext ersichtlich ist, schreiben wir auch einfach N(v), deg(v),  $\delta$  usw.

#### Beispiel 1.2.

• Der vollständige Graph (V, E) auf n Knoten, d.h. |V| = n und  $E = \binom{V}{2}$ , wird mit  $\mathbf{K}_n$  und der leere Graph  $(V, \emptyset)$  auf n Knoten wird mit  $\mathbf{E}_n$  bezeichnet.

$$K_1$$
:  $K_2$ :  $K_3$ :  $K_4$ :  $K_5$ :

• Der vollständige bipartite Graph (A, B, E) auf a + b Knoten, d.h.  $A \cap B = \emptyset$ , |A| = a, |B| = b und  $E = \{\{u, v\} \mid u \in A, v \in B\}$  wird mit  $\mathbf{K}_{a,b}$  bezeichnet.

$$K_{1,1}$$
:  $K_{1,2}$ :  $K_{2,2}$ :  $K_{2,3}$ :  $K_{3,3}$ :

• Der **Pfad** mit n Knoten wird mit  $P_n$  bezeichnet.

$$P_2$$
:  $\bullet - \bullet$   $P_3$ :  $\bullet - \bullet - \bullet$   $P_4$ :  $\bullet - \bullet - \bullet$   $P_5$ :  $\bullet - \bullet - \bullet$ 

• Der Kreis mit n Knoten wird mit  $C_n$  bezeichnet.

$$C_3$$
:  $C_4$ :  $C_5$ :  $C_6$ :

**Definition 1.3.** Sei G = (V, E) ein Graph.

a) Eine Knotenmenge  $U \subseteq V$  heißt **unabhängig** oder **stabil**, wenn es keine Kante von G mit beiden Endpunkten in U gibt, d.h. es gilt  $E \cap \binom{U}{2} = \emptyset$ . Die **Stabilitätszahl** ist

$$\alpha(G) = \max\{|U| \mid U \text{ ist stabile Menge in } G\}.$$

b) Eine Knotenmenge  $U \subseteq V$  heißt **Clique**, wenn jede Kante mit beiden Endpunkten in U in E ist, d.h. es gilt  $\binom{U}{2} \subseteq E$ . Die **Cliquenzahl** ist

$$\omega(G) = \max\{|U| \mid U \text{ ist Clique in } G\}.$$

c) Ein Graph G' = (V', E') heißt Sub-/Teil-/Untergraph von G, falls  $V' \subseteq V$  und  $E' \subseteq E$  ist. Im Fall V' = V wird G' auch ein (auf)spannender Teilgraph von G genannt und wir schreiben für G' auch G - E'' (bzw.  $G = G' \cup E''$ ), wobei E'' = E - E' die Menge der aus G entfernten Kanten ist. Im Fall  $E'' = \{e\}$  schreiben wir für G' auch einfach G - e (bzw.  $G = G' \cup e$ ).

- d) Ein k-regulärer spannender Teilgraph von G wird auch als **k-Faktor** von G bezeichnet. Ein d-regulärer Graph G heißt **k-faktorisierbar**, wenn sich G in l = d/k kantendisjunkte k-Faktoren  $G_1, \ldots, G_l$  zerlegen lässt.
- e) Ein Subgraph G' = (V', E') heißt (durch V') induziert, falls  $E' = E \cap \binom{V'}{2}$  ist. Für G' schreiben wir dann auch G[V'] oder G V'', wobei V'' = V V' die Menge der aus G entfernten Knoten ist. Ist  $V'' = \{v\}$ , so schreiben wir für G' auch einfach G v und im Fall  $V' = \{v_1, \ldots, v_k\}$  auch  $G[v_1, \ldots, v_k]$ .
- f) Ein Weg ist eine Folge von (nicht notwendig verschiedenen) Knoten  $v_0, \ldots, v_\ell$  mit  $\{v_i, v_{i+1}\} \in E$  für  $i = 0, \ldots, \ell 1$ . Die Länge des Weges ist die Anzahl der durchlaufenen Kanten, also  $\ell$ . Im Fall  $\ell = 0$  heißt der Weg trivial. Ein Weg  $(v_0, \ldots, v_\ell)$  heißt auch  $v_0$ - $v_\ell$ -Weg.
- g) G heißt **zusammenhängend**, falls es für alle Paare  $\{u, v\} \in \binom{V}{2}$  einen u-v-Weg gibt.
- h) Die durch die Äquivalenzklassen  $V_i \subseteq V$  der Relation

$$Z = \{(u,v) \in V \times V \mid \ \textit{es gibt in $G$ einen $u$-$v$-$Weg}\}$$

induzierten Teilgraphen  $G[V_i]$  heißen **Zusammenhangskompo**nenten (engl. connected components) oder einfach **Kompo**nenten von G.

- i) Ein u-v-Weg heißt **einfach** oder **u-v-Pfad**, falls alle durchlaufenen Knoten verschieden sind.
- j) Ein **Zyklus** ist ein u-v-Weg mit u = v.
- k) Eine Menge von Pfaden heißt disjunkt, wenn je zwei Pfade in der Menge keine gemeinsamen Knoten haben, kantendisjunkt, wenn je zwei Pfade in der Menge keine gemeinsamen Kanten haben, und knotendisjunkt, wenn je zwei Pfade in der Menge höchstens gemeinsame Endpunkte haben.
- l) Ein **Kreis** ist ein Zyklus  $(v_1, \ldots, v_\ell, v_1)$  der Länge  $\ell \geq 3$ , für den  $v_1, \ldots, v_\ell$  paarweise verschieden sind.

m) Ein Graph heißt **kreisfrei**, **azyklisch** oder **Wald**, falls er keinen Kreis enthält. Ein **Baum** ist ein zusammenhängender Wald.

**Definition 1.4.** Ein gerichteter Graph oder Digraph ist ein Paar G = (V, E), wobei

V - eine endliche Menge von Knoten/Ecken und

E - die Menge der Kanten ist.

 $Hierbei\ gilt$ 

$$E \subseteq V \times V = \{(u, v) \mid u, v \in V\},\$$

wobei E auch Schlingen (u, u) enthalten kann. Sei  $v \in V$  ein Knoten.

- a) Die Nachfolgermenge von v ist  $N^+(v) = \{u \in V \mid (v, u) \in E\}.$
- b) Die Vorgängermenge von v ist  $N^-(v) = \{u \in V \mid (u, v) \in E\}.$
- c) Die Nachbarmenge von v ist  $N(v) = N^+(v) \cup N^-(v)$ .
- d) Der Ausgangsgrad von v ist  $deg^+(v) = |N^+(v)|$  und der Eingangsgrad von v ist  $deg^-(v) = |N^-(v)|$ . Der Grad von v ist  $deg(v) = deg^+(v) + deg^-(v)$ .
- e) Ein (gerichteter)  $v_0$ - $v_\ell$ -Weg ist eine Folge von Knoten  $v_0, \ldots, v_\ell$  mit  $(v_i, v_{i+1}) \in E$  für  $i = 0, \ldots, \ell 1$ .
- f) Ein (gerichteter) Zyklus ist ein gerichteter u-v-Weg mit u = v.
- g) Ein gerichteter Weg heißt einfach oder (gerichteter) Pfad, falls alle durchlaufenen Knoten verschieden sind.
- h) Ein (gerichteter) Kreis in G ist ein gerichteter Zyklus  $(v_1, \ldots, v_\ell, v_1)$  der Länge  $\ell \geq 1$ , für den  $v_1, \ldots, v_\ell$  paarweise verschieden sind.
- i) G heißt **kreisfrei** oder **azyklisch**, wenn es in G keinen gerichteten Kreis gibt.
- j) G heißt stark zusammenhängend, wenn es in G für jedes Knotenpaar  $u \neq v \in V$  sowohl einen u-v-Pfad als auch einen v-u-Pfad gibt.
- k) G heißt **gerichteter Wald**, wenn G kreisfrei ist und jeder Knoten  $v \in V$  Eingangsgrad  $\deg^-(v) \leq 1$  hat.

l) Ein Knoten  $w \in V$  vom Eingangsgrad  $\deg^-(w) = 0$  heißt **Wurzel** von G, und ein Knoten  $u \in V$  vom Ausgangsgrad  $\deg^+(u) = 0$  heißt **Blatt** von G.

Die **Adjazenzmatrix** eines Graphen bzw. Digraphen G = (V, E) mit (geordneter) Knotenmenge  $V = \{v_1, \ldots, v_n\}$  ist die  $(n \times n)$ -Matrix  $A = (a_{ij})$  mit den Einträgen

$$a_{ij} = \begin{cases} 1, & \{v_i, v_j\} \in E \\ 0, & \text{sonst} \end{cases}$$
 bzw.  $a_{ij} = \begin{cases} 1, & (v_i, v_j) \in E \\ 0, & \text{sonst.} \end{cases}$ 

Für ungerichtete Graphen ist die Adjazenzmatrix symmetrisch mit  $a_{ii} = 0$  für  $i = 1, \ldots, n$ .

Bei der Adjazenzlisten-Darstellung wird für jeden Knoten  $v_i$  eine Liste mit seinen Nachbarn verwaltet. Im gerichteten Fall verwaltet man entweder nur die Liste der Nachfolger oder zusätzlich eine weitere für die Vorgänger. Falls die Anzahl der Knoten statisch ist, organisiert man die Adjazenzlisten in einem Feld, d.h. das Feldelement mit Index i verweist auf die Adjazenzliste von Knoten  $v_i$ . Falls sich die Anzahl der Knoten dynamisch ändert, so werden die Adjazenzlisten typischerweise ebenfalls in einer doppelt verketteten Liste verwaltet.

#### Beispiel 1.5.

Betrachte den gerichteten Graphen G = (V, E)mit  $V = \{1, 2, 3, 4\}$  und  $E = \{(2, 3), (2, 4), (3, 1), (3, 4), (4, 4)\}$ . Dieser hat folgende Adjazenzmatrix- und Adjazenzlisten-Darstellung:



	1	2	3	4
	0	0	0	0
	0	0	1	1
3	1	0	0	1
E	0	0	0	1

# 2 Färben von Graphen

**Definition 2.1.** Sei G = (V, E) ein Graph und sei  $k \in \mathbb{N}$ .

- a) Eine Abbildung  $f: V \to \mathbb{N}$  heißt **Färbung** von G, wenn  $f(u) \neq f(v)$  für alle  $\{u, v\} \in E$  gilt.
- b) G heißt **k-färbbar**, falls eine Färbung  $f: V \to \{1, ..., k\}$  existiert. Eine solche Färbung bezeichnen wir als **k-Färbung**.
- c) Die chromatische Zahl ist

$$\chi(G) = \min\{k \in \mathbb{N} \mid G \text{ ist } k\text{-}f\ddot{a}rbbar\}.$$

Beispiel 2.2.

$$\chi(E_n) = 1, \ \chi(K_{n,m}) = 2, \ \chi(K_n) = n,$$

$$\chi(C_n) = \begin{cases} 2, & n \text{ gerade} \\ 3, & sonst. \end{cases}$$

Ein wichtiges Entscheidungsproblem ist, ob ein gegebener Graph k-färbbar ist. Dieses Problem ist für jedes feste  $k \geq 3$  schwierig.

# k-Färbbarkeit (k-Coloring):

Gegeben: Ein Graph G. Gefragt: Ist G k-färbbar?

**Satz 2.3.** k-Coloring ist für  $k \geq 3$  NP-vollständig.

Das folgende Lemma setzt die chromatische Zahl  $\chi(G)$  in Beziehung zur Stabilitätszahl  $\alpha(G)$ .

**Lemma 2.4.**  $n/\alpha(G) \le \chi(G) \le n - \alpha(G) + 1$ .

Beweis. Sei G ein Graph und sei c eine  $\chi(G)$ -Färbung von G. Da dann die Mengen  $S_i = \{u \in V \mid c(u) = i\}, i = 1, \ldots, \chi(G), \text{ stabil sind, folgt } |S_i| \leq \alpha(G) \text{ und somit gilt}$ 

$$n = \sum_{i=1}^{\chi(G)} |S_i| \le \chi(G)\alpha(G).$$

Für den Beweis von  $\chi(G) \leq n - \alpha(G) + 1$  sei S eine stabile Menge in G mit  $|S| = \alpha(G)$ . Dann ist G - S k-färbbar für ein  $k \leq n - |S|$ . Da wir alle Knoten in S mit der Farbe k + 1 färben können, folgt  $\chi(G) \leq k + 1 \leq n - \alpha(G) + 1$ .

Beide Abschätzungen sind scharf, können andererseits aber auch beliebig schlecht werden.

**Lemma 2.5.** 
$$\binom{\chi(G)}{2} \le m \text{ und somit } \chi(G) \le 1/2 + \sqrt{2m + 1/4}.$$

Beweis. Zwischen je zwei Farbklassen einer optimalen Färbung muss es mindestens eine Kante geben.

Die chromatische Zahl steht auch in Beziehung zur Cliquenzahl  $\omega(G)$  und zum Maximalgrad  $\Delta(G)$ :

Lemma 2.6. 
$$\omega(G) \leq \chi(G) \leq \Delta(G) + 1$$
.

Beweis. Die erste Ungleichung folgt daraus, dass die Knoten einer maximal großen Clique unterschiedliche Farben erhalten müssen.

Um die zweite Ungleichung zu erhalten, betrachten wir folgenden Färbungsalgorithmus:

#### Algorithmus greedy-color

input ein Graph G = (V, E) mit  $V = \{v_1, \dots, v_n\}$   $c(v_1) := 1$ for i := 2 to n do  $F_i := \{c(v_j) \mid j < i, v_j \in N(v_i)\}$   $c(v_i) := \min\{k \ge 1 \mid k \not\in F_i\}$ 

Da für die Farbe  $c(v_i)$  von  $v_i$  nur  $|F_i| \leq \Delta(G)$  Farben verboten sind, gilt  $c(v_i) < \Delta(G) + 1$ .

# 2.1 Färben von planaren Graphen

Ein Graph G heißt **planar**, wenn er so in die Ebene einbettbar ist, dass sich zwei verschiedene Kanten höchstens in ihren Endpunkten berühren. Dabei werden die Knoten von G als Punkte und die Kanten von G als Verbindungslinien (genauer: Jordankurven) zwischen den zugehörigen Endpunkten dargestellt.

Bereits im 19. Jahrhundert wurde die Frage aufgeworfen, wie viele Farben höchstens benötigt werden, um eine Landkarte so zu färben, dass aneinander grenzende Länder unterschiedliche Farben erhalten. Offensichtlich lässt sich eine Landkarte in einen planaren Graphen transformieren, indem man für jedes Land einen Knoten zeichnet und benachbarte Länder durch eine Kante verbindet. Länder, die sich nur in einem Punkt berühren, gelten dabei nicht als benachbart.

Die Vermutung, dass 4 Farben ausreichen, wurde 1878 von Kempe "bewiesen" und erst 1890 entdeckte Heawood einen Fehler in Kempes "Beweis". Übrig blieb der **5-Farben-Satz**. Der **4-Farben-Satz** wurde erst 1976 von Appel und Haken bewiesen. Hierbei handelt es sich jedoch nicht um einen Beweis im klassischen Sinne, da zur Überprüfung der vielen auftretenden Spezialfälle Computer benötigt werden.

Satz 2.7 (Appel, Haken 1976).

Jeder planare Graph ist 4-färbbar.

Aus dem Beweis des 4-Farben-Satzes von Appel und Haken lässt sich ein 4-Färbungsalgorithmus für planare Graphen mit einer Laufzeit von  $\mathcal{O}(n^4)$  gewinnen.

In 1997 fanden Robertson, Sanders, Seymour und Thomas einen einfacheren Beweis für den 4-Farben-Satz, welcher zwar einen deutlich schnelleren  $\mathcal{O}(n^2)$  Algorithmus liefert, aber ebenfalls nur mit Computer-Unterstützung verifizierbar ist.

**Beispiel 2.8.** Wie die folgenden Einbettungen von  $K_4$  und  $K_{2,3}$  in die Ebene zeigen, sind  $K_4$  und  $K_{2,3}$  planar.



Zur Beantwortung der Frage, ob auch  $K_5$  und  $K_{3,3}$  planar sind, betrachten wir die **Gebiete**, die bei der Einbettung von (zusammenhängenden) Graphen in die Ebene entstehen. Dabei gehören 2 Punkte zum selben Gebiet, falls es zwischen ihnen eine Verbindungslinie gibt, die keine Kante des eingebetten Graphen kreuzt oder berührt. Nur eines dieser Gebiete ist unbeschränkt und dieses wird als **äußeres Gebiet** bezeichnet. Die Anzahl der Gebiete von G bezeichnen wir mit r(G) oder kurz mit r.

Die begrenzenden Kanten eines Gebietes g bilden seinen Rand rand(g). Ihre Anzahl bezeichnen wir mit d(g), wobei Kanten  $\{u,v\}$ , an die g von beiden Seiten grenzt, doppelt gezählt werden. Wir ordnen die Kanten auf dem Rand R von g, indem wir sie der Reihe nach so durchlaufen, dass g "in Fahrtrichtung links" liegt. Anders gesagt, verlassen wir jeden Knoten u, den wir über eine Kante e erreichen, über die im Uhrzeigersinn nächste mit u inzidente Kante e' wieder. Auf diese Weise erhält jede Kante auf dem Rand von g eine Richtung (oder Orientierung). Grenzt eine Kante e von beiden Seiten an g, so kommt sie in der zirkulären Ordnung rand(g) mit beiden Orientierungen vor (siehe Beispiel 2.9).

Da jede Kante zur Gesamtlänge  $\sum_g d(g)$ aller Ränder den Wert 2

beiträgt (sie wird genau einmal in jeder Richtung durchlaufen), folgt

$$\sum_{g} d(g) = 2m(G).$$

Wir nennen das Tripel G' = (V, E, R) eine **ebene Realisierung** des Graphen G = (V, E), falls es eine Einbettung von G in die Ebene gibt, deren Gebiete die Ränder in R haben. In diesem Fall nennen wir G' = (V, E, R) auch einen **ebenen Graphen**. Ist G nicht zusammenhängend, so betten wir die Komponenten von G in die Ebene ein und fassen alle Ränder, die bei diesen Einbettungen entstehen, zu einer Randmenge R zusammen.

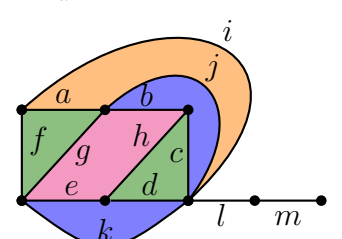
Führen zwei Einbettungen von G in die Ebene auf dieselbe Randmenge R, so werden sie als **äquivalent** angesehen. Man kann auch Einbettungen kombinatorisch bis auf Äquivalenz beschreiben, indem man für jeden Knoten u die zirkuläre Ordnung  $\pi_u$  aller mit u inzidenten Kanten angibt. Man nennt  $\pi = \{\pi_u \mid u \in V\}$  ein **Rotationssystem** für G, falls es eine entsprechende Einbettung gibt. Rotationssysteme haben den Vorteil, dass sie bei Verwendung der Adjazenzlistendarstellung ohne zusätzlichen Platzaufwand gespeichert werden können, indem man die zu u adjazenten Knoten gemäß  $\pi_u$  anordnet.

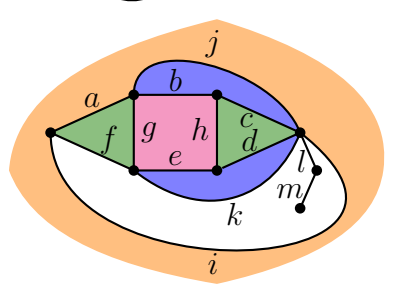
Beispiel 2.9. Die beiden nebenstehenden Einbettungen eines Graphen G = (V, E) in die Ebene haben jeweils 7 Gebiete und führen beide auf den ebenen Graphen G' =(V, E, R) mit den 7 Rändern

$$R = \{(a, f, g), (a, j, i), (b, g, e, h), (b, c, j), (c, h, d), (d, e, k), (f, i, l, m, m, l, k)\}.$$

Das zugehörige Rotationssystem ist

$$\pi = \{(a, f, i), (a, j, b, g), (b, c, h), (e, k, f, g), (d, e, h), (c, j, i, l, k, d), (l, m), (m)\}.$$





Man beachte, dass sowohl in R als auch in  $\pi$  jede Kante genau zweimal vorkommt. Anstelle von (zirkulären) Kantenfolgen kann man die Elemente von R und  $\pi$  natürlich auch durch entsprechende Knotenfolgen beschreiben.

Satz 2.10 (Polyederformel von Euler, 1750).

Für einen zusammenhängenden ebenen Graphen G = (V, E, R) gilt

$$n(G) - m(G) + r(G) = 2.$$
 (\*)

Beweis. Wir führen den Beweis durch Induktion über die Kantenzahl m(G) = m.

m=0: Da G zusammenhängend ist, muss dann n=1 sein.

Somit ist auch r = 1, also (\*) erfüllt.

 $m-1 \leadsto m$ : Sei G ein zusammenhängender ebener Graph mit m Kanten.

Ist G ein Baum, so entfernen wir ein Blatt und erhalten einen zusammenhängenden ebenen Graphen G' mit n' = n - 1 Knoten, m' = m - 1 Kanten und r' = r Gebieten. Nach IV folgt n - m + r = (n - 1) - (m - 1) + r = n' - m' + r' = 2.

Falls G kein Baum ist, entfernen wir eine Kante auf einem Kreis in G und erhalten einen zusammenhängenden ebenen Graphen G' mit n'=n Knoten, m'=m-1 Kanten und r'=r-1 Gebieten. Nach IV folgt n-m+r=n-(m-1)+(r-1)=n'-m'+r'=2.

**Korollar 2.11.** Sei G = (V, E) ein planarer Graph mit  $n \geq 3$  Knoten. Dann ist  $m \leq 3n - 6$ . Falls G dreiecksfrei ist, gilt sogar  $m \leq 2n - 4$ .

Beweis. O.B.d.A. sei G zusammenhängend. Wir betrachten eine beliebige planare Einbettung von G. Da  $n \geq 3$  ist, ist jedes Gebiet g von  $d(g) \geq 3$  Kanten umgeben. Daher ist  $2m = i = \sum_g d(g) \geq 3r$  bzw.  $r \leq 2m/3$ . Eulers Formel liefert

$$m = n + r - 2 \le n + 2m/3 - 2$$
,

was  $(1-2/3)m \le n-2$  und somit  $m \le 3n-6$  impliziert.

Wenn G dreiecksfrei ist, ist jedes Gebiet von  $d(g) \ge 4$  Kanten umgeben. Daher ist  $2m = i = \sum_g d(g) \ge 4r$  bzw.  $r \le m/2$ . Eulers Formel liefert daher  $m = n + r - 2 \le n + m/2 - 2$ , was  $m/2 \le n - 2$  und somit  $m \le 2n - 4$  impliziert.

**Korollar 2.12.** Die Graphen  $K_5$  und  $K_{3,3}$  sind nicht planar.

Beweis. Wegen  $n(K_5) = 5$ , also  $3n(K_5) - 6 = 9$ , und wegen  $m(K_5) = {5 \choose 2} = 10$  gilt  $m(K_5) \not\leq 3n(K_5) - 6$ .

Wegen 
$$n(K_{3,3}) = 6$$
, also  $2n(K_{3,3}) - 4 = 8$ , und wegen  $m(K_{3,3}) = 3 \cdot 3 = 9$  gilt  $m(K_{3,3}) \not\leq 2n(K_{3,3}) - 4$ .

Als weitere interessante Folgerung aus der Polyederformel können wir zeigen, dass jeder planare Graph einen Knoten v vom Grad  $\deg(v) \leq 5$  hat.

**Korollar 2.13.** Jeder planare Graph hat einen Minimalgrad  $\delta \leq 5$ .

Beweis. Für  $n\leq 6$ ist die Behauptung klar. Für n>6impliziert die Annahme  $\delta\geq 6$  die Ungleichung

$$m = \frac{1}{2} \sum_{u \in V} \deg(u) \ge \frac{1}{2} \sum_{u \in V} 6 = 3n,$$

was im Widerspruch zu  $m \leq 3n - 6$  steht.

**Definition 2.14.** Seien G = (V, E) und H Graphen und seien  $u, v \in V$ .

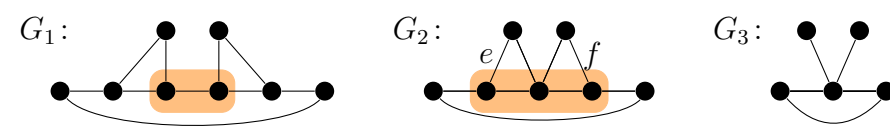
• Durch **Fusion** von u und v entsteht aus G der Graph  $G_{uv} = (V - \{v\}, E')$  mit

$$E' = \{ e \in E \mid v \not\in e \} \cup \{ \{u, v'\} \mid \{v, v'\} \in E - \{u, v\} \}.$$

• Ist  $e = \{u, v\}$  eine Kante von G (also  $e \in E$ ), so sagen wir auch,  $G_{uv}$  entsteht aus G durch **Kontraktion** der Kante e.

- Hat zudem v den Grad 2 mit  $N_G(v) = \{u, w\}$ , so sagen wir auch,  $G_{uv}$  entsteht aus G durch **Überbrückung** des Knotens v bzw. G aus  $G_{uv}$  durch **Unterteilung** der Kante  $\{u, w\}$ .
- G heißt zu H kontrahierbar, falls H aus einer isomorphen Kopie von G durch wiederholte Kontraktionen gewonnen werden kann. In diesem Fall nennen wir H auch eine Kontraktion von G bzw. G eine Expansion von H.
- H heißt zu G unterteilbar, falls G aus einer isomorphen Kopie von H durch wiederholte Unterteilungen von Kanten gewonnen werden kann. In diesem Fall nennen wir G auch eine Unterteilung von H bzw. H eine Überbrückung von G.
- H heißt **Minor** von G, wenn ein Teilgraph von G zu H kontrahierbar ist. H heißt **topologischer Minor** von G, wenn ein Teilgraph von G eine Unterteilung von H ist.
- G heißt H-frei, falls H kein Minor von G ist. Für eine Menge  $\mathcal{H}$  von Graphen heißt G  $\mathcal{H}$ -frei, falls kein  $H \in \mathcal{H}$  ein Minor von G ist.

#### Beispiel 2.15. Betrachte folgende Graphen:



- $G_2$  ist ein Minor von  $G_1$ , da  $G_2$  durch Kontraktion der in  $G_1$  umrandeten Kante entsteht; entsprechend ist  $G_3$  ein Minor von  $G_2$  und auch von  $G_1$ .
- $G_2$  ist keine Unterteilung von  $G_3$ , da  $G_2$  im Gegensatz zu  $G_3$  Knoten vom Grad 3 hat. Falls wir jedoch die beiden Kanten e und f aus  $G_2$  entfernen, so ist der resultierende Teilgraph  $G'_2$  eine Unterteilung von  $G_3$ . Somit ist  $G_3$  ein topologischer Minor von  $G_2$ .
- $G_2$  und  $G_3$  sind aber keine topologischen Minoren von  $G_1$ , da  $G_2$  und  $G_3$  einen Knoten vom Grad 4 haben, aber  $G_1$  nur Knoten vom Grad < 3.

Es ist klar, dass die Klasse  $\mathcal{K}$  der planaren Graphen zwar unter Subgraphbildung, Kontraktion, Unterteilung und Überbrückung abgeschlossen ist, aber nicht unter Fusion. Folglich ist jeder (topologische) Minor und jede Unterteilung eines planaren Graphen ebenfalls planar. Nach Definition lässt sich jeder (topologische) Minor H von G aus einem zu G isomorphen Graphen durch wiederholte Anwendung folgender Operationen gewinnen:

- Entfernen einer Kante oder eines Knotens,
- Kontraktion einer Kante (bzw. Überbrückung eines Knotens).

Da die Kontraktionen (bzw. Überbrückungen) o.B.d.A. auch zuletzt ausgeführt werden können, gilt hiervon auch die Umkehrung. Zudem ist leicht zu sehen, dass zwei Graphen G und H genau dann (topologische) Minoren voneinander sind, wenn sie isomorph sind.

Satz 2.16 (Kempe 1878, Heawood 1890). Jeder planare Graph ist 5-färbbar.

Beweis. Wir beweisen den Satz durch Induktion über n.

n = 1: Klar.

- $n-1 \sim n$ : Sei G ein planarer Graph mit n(G)=n Knoten. Da G planar ist, existiert ein Knoten u mit  $\deg(u) \leq 5$ . Nun konstruieren wir zu G wie folgt einen Minor G':
  - Im Fall  $deg(u) \le 4$  sei G' = G u, d.h. wir entfernen u aus G.
  - Andernfalls hat u zwei Nachbarn v und w, die nicht durch eine Kante verbunden sind (andernfalls wäre  $K_5$  ein Teilgraph von G). In diesem Fall sei  $G' = (G_{vu})_{vw}$ , d.h. wir kontrahieren die beiden Kanten  $\{u, v\}$  und  $\{u, w\}$  zum Knoten v.

Da G' ein Minor von G ist, ist G' planar. Da G' zudem höchstens n-1 Knoten hat, hat G' nach IV eine 5-Färbung c'. Wir erweitern c' wie folgt zu einer 5-Färbung c von G:

• Im 2. Fall geben wir dem Knoten w die Farbe c(w) = c'(v).

• Da nun in beiden Fällen die Nachbarn von u in G höchstens 4 verschiedene Farben haben, können wir auch u eine Farbe  $c(u) \leq 5$  geben.

Kuratowski konnte 1930 beweisen, dass jeder nichtplanare Graph G den  $K_{3,3}$  oder den  $K_5$  als topologischen Minor enthält. Für den Beweis benötigen wir noch folgende Notationen.

**Definition 2.17.** Sei G = (V, E) ein Graph und  $S \subseteq V$ .

- Die Menge S heißt Separator in G, wenn es zwei Knoten u, v ∈ V \ S gibt, zwischen denen in G − S kein u-v-Weg existiert. Ist |S| = k, so nennen wir S auch einen k-Separator zwischen u und v oder auch einen u-v-Separator der Größe k. Ein 1-Separator wird auch Artikulation oder Schnittknoten von G genannt.
- Ein Graph G heißt **k-zusammenhängend**,  $0 \le k \le n-1$ , falls G keinen (k-1)-Separator hat. Die größte Zahl k, für die G kzusammenhängend ist, heißt die **Zusammenhangszahl** von G und wird mit  $\kappa(G)$  bezeichnet.

Ein Graph G mit  $n \geq 2$  Knoten ist also genau dann zusammenhängend, wenn  $\kappa(G) \geq 1$  ist.

**Lemma 2.18.** Ist ein Graph G = (V, E) nicht planar, so hat er einen

- ullet 2-zusammenhängenden Untergraphen U=(V',E') und einen
- 3-zusammenhängenden topologischen Minor M = (V'', E''),

die **minimal nicht planar** sind, d.h. U und M sind nicht planar und für alle  $e' \in E'$  und  $e'' \in E''$  sind die Graphen U - e' und M - e'' planar.

Beweis. Wir entfernen zuerst solange Kanten und Knoten aus G, bis wir aus dem verbliebenen Teilgraphen U = (V', E') keine weiteren Kanten oder Knoten entfernen können, ohne dass U planar wird.

Uist zusammenhängend, da andernfalls mindestens eine Komponente von Unicht planar ist und wir alle übrigen Komponenten entfernen könnten, ohne dass U planar wird.

U ist sogar 2-zusammenhängend, da U sonst einen Schnittknoten s enthält und U-s in  $k \geq 2$  Komponenten  $U[V_1], \ldots, U[V_k]$  zerfällt. Dann ist aber mindestens ein Teilgraph  $T_i = U[V_i \cup \{s\}]$  nicht planar und wir können alle Knoten außerhalb von  $T_i$  entfernen, ohne dass U planar wird.

Um einen topologischen Minor M von G mit den behaupteten Eigenschaften zu erhalten, konstruieren wir zu U einen topologischen Minor U', der minimal nicht planar ist und zudem 3-zusammenhängend ist oder weniger Knoten als U hat. Indem wir diese Konstruktion wiederholen, erhalten wir schließlich M.

Falls U 3-zusammenhängend ist, ist U' = U. Andernfalls gibt es in U einen 2-Separator  $S = \{u, v\}$ , d.h. U - S zerfällt in  $k \geq 2$  Komponenten  $U[V_1], \ldots, U[V_k]$ . Betrachte die (2-zusammenhängenden) Graphen  $G_i = U[V_i \cup \{u, v\}] \cup \{u, v\}$ . Dann ist mindestens ein  $G_i$  nicht planar (z.B.  $G_1$ ), da sonst auch U planar wäre. Da  $k \geq 2$  ist, erhalten wir einen zu  $G_1$  isomorphen Graphen U' als topologischen Minor von  $H = U[V_1 \cup V_2 \cup \{u, v\}]$  (und damit von U), indem wir in  $U[V_2 \cup \{u, v\}]$  einen beliebigen u-v-Pfad P wählen und aus H alle Knoten und Kanten entfernen, die nicht auf P liegen und danach P überbrücken. Dann hat U' weniger Knoten als U und ist wie U minimal nicht planar.

**Definition 2.19.** Sei G ein Graph und sei K ein Kreis in G. Ein Teilgraph B von G heißt **Brücke** von K in G, falls

- B nur aus einer Kante besteht, die zwei Knoten von K verbindet, aber nicht auf K liegt (solche Brücken werden auch als **Sehnen** von K bezeichnet), oder
- B-K eine Komponente von G-K ist und B aus B-K durch Hinzufügen aller Kanten zwischen B-K und K (und der zugehörigen Endpunkte auf K) entsteht.

Die Knoten von B, die auf K liegen, heißen **Kontaktpunkte** von B. Zwei Brücken B und B' von K heißen **inkompatibel**, falls

- B Kontaktpunkte u, v und B' Kontaktpunkte u', v' hat, so dass diese vier Punkte in der Reihenfolge u, u', v, v' auf K liegen, oder
- ullet B und B' mindestens 3 gemeinsame Kontaktpunkte haben.

Es ist leicht zu sehen, dass in einem planaren Graphen kein Kreis mehr als zwei inkompatible Brücken haben kann.

#### Satz 2.20 (Kuratowski 1930).

Für einen Graphen G sind folgende Aussagen äquivalent:

- (i) G ist planar.
- (ii) G enthält weder den  $K_{3,3}$  noch den  $K_5$  als topologischen Minor.

Beweis. Die Implikation von i) nach ii) folgt aus der Abgeschlossenheit der planaren Graphen unter (topologischer) Minorenbildung.

Die Implikation von ii) nach i) zeigen wir durch Kontraposition. Sei also G=(V,E) nicht planar. Dann hat G nach Lemma 2.18 einen 3-zusammenhängenden nicht planaren topologischen Minor M=(V',E'), so dass M-e' für jede Kante  $e'\in E'$  planar ist. Wir entfernen eine beliebige Kante  $e_0=\{a_0,b_0\}$  aus M. Dann ist  $M-e_0$  planar. Da  $M-e_0$  2-zusammenhängend ist, gibt es in  $M-e_0$  einen Kreis K durch die beiden Knoten  $a_0$  und  $b_0$  (siehe Übungen). Wir wählen K zusammen mit einer ebenen Realisierung H' von  $M-e_0$  so, dass K möglichst viele Gebiete in H' einschließt.

Für zwei Knoten a, b auf K bezeichnen wir mit K[a, b] die Menge aller Knoten, die auf dem Bogen von a nach b (im Uhrzeigersinn) auf K liegen. Zudem sei  $K[a, b) = K[a, b] \setminus \{b\}$ . Die Mengen K(a, b) und K(a, b] sind analog definiert.

Die Kanten jeder Brücke B von K in  $M-e_0$  verlaufen in H' entweder alle innerhalb oder alle außerhalb von K. Im ersten Fall nennen wir B eine **innere Brücke** und im zweiten eine **äußere Brücke**.

Es ist klar, dass K in H' mindestens eine innere und mindestens eine äußere Brücke haben muss (sonst könnten wir e' zu H' hinzufügen). Zudem muss jede äußere Brücke B genau zwei Kontaktpunkte haben:

einen Knoten  $u \in K(a_0, b_0)$  und einen Knoten  $v \in K(b_0, a_0)$ . Andernfalls hätte B nämlich mindestens 2 Kontaktpunkte auf  $K[a_0, b_0]$  oder auf  $K[b_0, a_0]$ . Daher könnte K zu einem Kreis K' erweitert werden, der in H' mehr Gebiete einschließt (bzw. ausschließt) als K, was der Wahl von K und H' widerspricht. Da M 3-zusammenhängend ist, muss B zudem eine Sehne  $\{u, v\}$  sein.

K hat in M außer den Brücken in  $M-e_0$  noch zusätzlich die Brücke  $e_0$ . Wir wählen nun eine innere Brücke B, die sowohl zu  $e_0$  als auch zu mindestens einer äußeren Brücke  $e_1 = \{a_1, b_1\}$  inkompatibel ist. Eine solche Brücke muss es geben, da wir sonst alle mit  $e_0$  inkompatiblen inneren Brücken nach außen klappen und  $e_0$  als innere Brücke hinzunehmen könnten, ohne die Planarität zu verletzen.

Wir benutzen K und die drei Brücken  $e_0$ ,  $e_1$  und B, um eine Unterteilung des  $K_{3,3}$  oder des  $K_5$  in M zu finden. Hierzu geben wir entweder zwei disjunkte Mengen  $A_1, A_2 \subseteq V'$  mit jeweils 3 Knoten an, so dass 9 knotendisjunkte Pfade zwischen allen Knoten  $a \in A_1$  und  $b \in A_2$  existieren. Oder wir geben eine Menge  $A \subseteq V'$  mit fünf Knoten an, so dass 10 knotendisjunkte Pfade zwischen je zwei Knoten  $a, b \in A$  existieren. Da  $e_0$  und  $e_1$  inkompatibel sind, können wir annehmen, dass die vier Knoten  $a_0, a_1, b_0, b_1$  in dieser Reihenfolge auf K liegen.

**Fall 1:** B hat einen Kontaktpunkt  $k_1 \notin \{a_0, a_1, b_0, b_1\}$ . Aus Symmetriegründen können wir  $k_1 \in K(a_0, a_1)$  annehmen. Da B weder zu  $e_0$  noch zu  $e_1$  kompatibel ist, hat B weitere Kontaktpunkte  $k_2 \in K(b_0, a_0)$  und  $k_3 \in K(a_1, b_1)$ , wobei  $k_2 = k_3$  sein kann.

**Fall 1a:** Ein Knoten  $k_i \in \{k_2, k_3\}$  liegt auf dem Bogen  $K(b_0, b_1)$ . In diesem Fall existieren 9 knotendisjunkte Pfade zwischen  $\{a_0, a_1, k_i\}$  und  $\{b_0, b_1, k_1\}$ .

**Fall 1b:**  $K(b_0, b_1) \cap \{k_2, k_3\} = \emptyset$ . In diesem Fall ist  $k_2 \in K[b_1, a_0)$  und  $k_3 \in K(a_1, b_0]$ . Dann gibt es in B einen Knoten u, von dem aus 3 knotendisjunkte Pfade zu  $\{k_1, k_2, k_3\}$  existieren. Folglich gibt es 9 knotendisjunkte Pfade zwischen  $\{a_0, a_1, u\}$  und  $\{k_1, k_2, k_3\}$ .

**Fall 2:** Alle Kontaktpunkte von B liegen in der Menge  $\{a_0, a_1, b_0, b_1\}$ . Da B inkompatibel zu  $e_0$  und  $e_1$  ist, müssen in diesem Fall alle vier Punkte zu B gehören. Sei  $P_0$  ein  $a_0$ - $b_0$ -Pfad in B und sei  $P_1$  ein  $a_1$ - $b_1$ -Pfad in B. Sei u der erste Knoten auf  $P_0$ , der auch auf  $P_1$  liegt und sei v der letzte solche Knoten.

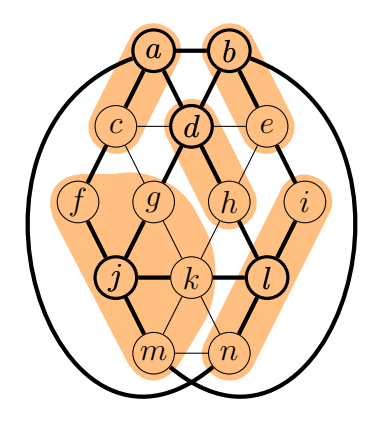
**Fall 2a:** u = v. Dann gibt es in B vier knotendisjunkte Pfade von u zu  $\{a_0, a_1, b_0, b_1\}$  und somit existieren in M 10 knotendisjunkte Pfade zwischen den Knoten  $u, a_0, a_1, b_0, b_1$ .

**Fall 2b:**  $u \neq v$ . Durch u und v wird der Pfad  $P_1$  in drei Teilpfade  $P_{xu}$ ,  $P_{uv}$  und  $P_{vy}$  unterteilt, wobei die Indizes die Endpunkte bezeichnen und  $\{x, y\} = \{a_1, b_1\}$  ist.

Somit gibt es in B drei Pfade zwischen u und jedem Knoten in  $\{a_0, v, x\}$  und zwei Pfade zwischen v und jedem Knoten in  $\{b_0, y\}$ , die alle 5 knotendisjunkt sind. Folglich gibt es in M 9 knotendisjunkte Pfade zwischen  $\{a_0, v, x\}$  und  $\{b_0, y, u\}$ .

Beispiel 2.21. Der nebenstehende Graph ist nicht planar, da wir den  $K_5$  durch Kontraktion der farblich unterlegten Teilgraphen als Minor von G erhalten.

Alternativ lässt sich der K<sub>5</sub> auch als ein topologischer Minor von G erhalten, indem wir die dünnen Kanten entfernen und in dem resultierenden Teilgraphen alle Knoten vom Grad 2 überbrücken.



Eine unmittelbare Folgerung aus dem Satz von Kuratowski ist folgende Charakterisierung der Klasse der planaren Graphen.

**Korollar 2.22** (Wagner 1937). Ein Graph ist genau dann planar, wenn er  $\{K_{3,3}, K_5\}$ -frei ist.

Satz 2.23 (Satz von Robertson und Seymour, 1983-2004). Sei K eine Graphklasse, die unter Minorenbildung abgeschlossen ist. Dann gibt

es eine endliche Menge  $\mathcal{H}$  von Graphen mit

$$\mathcal{K} = \{G \mid G \text{ ist } \mathcal{H}\text{-frei}\}.$$

Die Graphen in  $\mathcal{H}$  sind bis auf Isomorphie eindeutig bestimmt und heißen **verbotene Minoren** für die Klasse  $\mathcal{K}$ .

Eine interessante Folgerung aus diesem Satz ist, dass jede unendliche Graphklasse zwei Graphen G und H enthält, so dass H ein Minor von G ist. Das Problem, für zwei gegebene Graphen G und H zu entscheiden, ob H ein Minor von G ist, ist zwar NP-vollständig (da sich das Hamiltonkreisproblem darauf reduzieren lässt). Für einen festen Graphen H ist das Problem dagegen effizient entscheidbar.

Satz 2.24 (Robertson und Seymour, 1995). Für jeden Graphen H gibt es einen  $O(n^3)$ -zeitbeschränkten Algorithmus, der für einen gegebenen Graphen G entscheidet, ob er H-frei ist.

Korollar 2.25. Die Zugehörigkeit zu jeder unter Minorenbildung abgeschlossenen Graphklasse K ist in P entscheidbar.

Der Entscheidungsalgorithmus für  $\mathcal{K}$  lässt sich allerdings nur angeben, wenn wir die verbotenen Minoren für  $\mathcal{K}$  kennen. Leider ist der Beweis von Satz 2.23 in dieser Hinsicht nicht konstruktiv, so dass der Nachweis, dass  $\mathcal{K}$  unter Minorenbildung abgeschlossen ist, nicht automatisch zu einem effizienten Erkennungsalgorithmus für  $\mathcal{K}$  führt.

# 2.2 Färben von chordalen Graphen

Chordale Graphen treten in vielen Anwendungen auf, z.B. sind alle Intervall- und alle Splitgraphen chordal. Wir werden sehen, dass sich für chordale Graphen effizient eine optimale Knotenfärbung berechnen lässt.

**Definition 2.26.** Ein Graph G = (V, E) heißt **chordal** oder **trianguliert**, wenn jeder Kreis  $K = (u_1, \ldots, u_l, u_1)$  der Länge  $l \ge 4$  in G mindestens eine Sehne hat.

G ist also genau dann chordal, wenn er keinen induzierten Kreis der Länge  $l \geq 4$  enthält (ein induzierter Kreis ist ein induzierter Teilgraph G[V'],  $V' \subseteq V$ , der ein Kreis ist). Dies zeigt, dass die Klasse der chordalen Graphen unter induzierter Teilgraphbildung abgeschlossen ist (aber nicht unter Teilgraphbildung). Jede solche Graphklasse  $\mathcal{G}$  ist durch eine Familie von minimalen **verbotenen induzierten Teilgraphen**  $H_i$  charakterisiert, die bis auf Isomorphie eindeutig bestimmt sind. Die Graphen  $H_i$  gehören also nicht zu  $\mathcal{G}$ , aber sobald wir einen Knoten daraus entfernen, erhalten wir einen Graphen in  $\mathcal{G}$ . Die Klasse der chordalen Graphen hat die Familie der Kreise  $C_n$  der Länge  $n \geq 4$  als verbotene induzierte Teilgraphen.

**Lemma 2.27.** Für einen Graphen G sind folgende Aussagen äquivalent.

- (i) G ist chordal.
- (ii) Jeder inklusionsminimale x-y-Separator S in G ist eine Clique.
- (iii) Jedes Paar von nicht adjazenten Knoten x und y in G hat einen x-y-Separator S, der eine Clique ist.

Beweis. Um zu zeigen, dass die zweite Aussage aus der ersten folgt, nehmen wir an, dass G einen minimalen x-y-Separator S hat (d.h.  $S \setminus \{s\}$  ist für jedes  $s \in S$  kein x-y-Separator), der zwei nicht adjazente Knoten u und v enthält. Seien  $G[V_1]$  und  $G[V_2]$  die beiden Komponenten in G - S mit  $x \in V_1$  und  $y \in V_2$ . Da S minimal ist, haben die beiden Knoten u und v sowohl einen Nachbarn in  $V_1$  als auch in  $V_2$ . Betrachte die beiden Teilgraphen  $G_i = G[V_i \cup \{u,v\}]$  (i = 1,2) und wähle jeweils einen kürzesten u-v-Pfad  $P_i$  in  $G_i$ . Da deren Länge  $\geq 2$  ist, ist  $K = P_1 \cup P_2$  ein Kreis der Länge  $\geq 4$ . Aufgrund der Konstruktion ist zudem klar, dass K keine Sehnen in G hat.

Dass die zweite Aussage die dritte impliziert, ist klar, da jedes Paar von nicht adjazenten Knoten x und y einen x-y-Separator S hat, und S eine Clique sein muss, wenn wir S inklusionsminimal wählen.

Um zu zeigen, dass die erste Aussage aus der dritten folgt, nehmen wir

an, dass G nicht chordal ist. Dann gibt es in G einen induzierten Kreis K der Länge  $\geq 4$ . Seien x und y zwei beliebige nicht adjazente Knoten auf K und sei S ein x-y-Separator in G. Dann muss S mindestens zwei nicht adjazente Knoten aus K enthalten.

**Definition 2.28.** Sei G = (V, E) ein Graph und sei  $k \geq 0$ . Ein Knoten  $u \in V$  vom Grad k heißt k-simplizial, wenn alle Nachbarn von u paarweise adjazent sind. Jeder k-simpliziale Knoten wird auch als simplizial bezeichnet.

Zusammenhängende chordale Graphen können als eine Verallgemeinerung von Bäumen aufgefasst werden. Ein Graph G ist ein Baum, wenn er aus  $K_1$  durch sukzessives Hinzufügen von 1-simplizialen Knoten erzeugt werden kann. Entsprechend heißt G k-Baum, wenn G aus  $K_k$  durch sukzessives Hinzufügen von k-simplizialen Knoten erzeugt werden kann. Wir werden sehen, dass ein zusammenhängender Graph G genau dann chordal ist, wenn er aus einem isolierten Knoten (also aus einer 1-Clique) durch sukzessives Hinzufügen von simplizialen Knoten erzeugt werden kann. Äquivalent hierzu ist, dass G durch sukzessives Entfernen von simplizialen Knoten auf einen isolierten Knoten reduziert werden kann.

**Definition 2.29.** Sei G = (V, E) ein Graph. Eine lineare Ordnung  $(u_1, \ldots, u_n)$  auf V heißt **perfekte Eliminationsordnung (PEO)** von G, wenn  $u_i$  simplizial in  $G[u_1, \ldots, u_i]$  für  $i = 2, \ldots, n$  ist.

Wir eliminieren die Knoten von G also in der Reihenfolge  $u_n, \ldots, u_2, u_1$ . Es ist klar dass der  $K_n$  alle n! lineare Ordnungen auf V als PEO hat. Das folgende Lemma verallgemeinert die bekannte Tatsache, dass jeder nicht vollständige Baum T (also  $T \notin \{K_1, K_2\}$ ) mindestens zwei nicht adjazente Blätter hat.

Lemma 2.30. Jeder nicht vollständige chordale Graph G besitzt mindestens zwei simpliziale Knoten, die nicht adjazent sind.

Beweis. Wir führen Induktion über n. Für  $n \leq 2$  ist die Behauptung klar. Sei G = (V, E) ein Graph mit  $n \geq 3$  Knoten. Da G nicht vollständig ist, enthält G zwei nichtadjazente Knoten  $x_1$  und  $x_2$ . Sei S ein minimaler  $x_1$ - $x_2$ -Separator der Größe  $k \geq 0$ . Im Fall k > 0 ist S nach Lemma 2.27 eine Clique in G. Seien  $G[V_1]$  und  $G[V_2]$  die beiden Komponenten von G - S mit  $x_i \in V_i$ . Wir zeigen die Existenz zweier simplizialer Knoten  $s_i \in V_i$ , i = 1, 2.

Betrachte die Teilgraphen  $G_i = G[V_i \cup S]$ . Da  $G_i$  chordal ist und weniger als n Knoten hat, ist  $G_i$  nach IV entweder eine Clique oder  $G_i$  enthält mindestens zwei nicht adjazente simpliziale Knoten  $y_i, z_i$ . Falls  $G_i$  eine Clique ist, ist  $s_i = x_i$  simplizial in  $G_i$ , und da  $x_i$  keine Nachbarn außerhalb von  $V_i \cup S$  hat, ist  $s_i$  dann auch simplizial in G. Ist  $G_i$  keine Clique, kann höchstens einer der beiden Knoten  $y_i, z_i$  zu S gehören (da S im Fall  $S \neq \emptyset$  eine Clique und  $\{y_i, z_i\} \notin E$  ist). O.B.d.A. sei  $y_i \in V_i$ . Dann hat  $s_i = y_i$  keine Nachbarn außerhalb von  $V_i \cup S$  und somit ist  $s_i$  auch simplizial in G.

Satz 2.31. Ein Graph ist genau dann chordal, wenn er eine PEO hat.

Beweis. Falls G chordal ist, lässt sich eine PEO gemäß Lemma 2.30 bestimmen, indem wir für  $i=n,\ldots,2$  sukzessive einen simplizialen Knoten  $u_i$  in  $G-\{u_{i+1},\ldots,u_n\}$  wählen.

Für die umgekehrte Richtung sei  $(u_1, \ldots, u_n)$  eine PEO von G. Wir zeigen induktiv, dass  $G_i = G[u_1, \ldots, u_i]$  chordal ist. Da  $u_{i+1}$  simplizial in  $G_{i+1}$  ist, enthält jeder Kreis K der Länge  $\geq 4$  in  $G_{i+1}$ , auf dem  $u_{i+1}$  liegt, eine Sehne zwischen den beiden Kreisnachbarn von  $u_{i+1}$ . Daher ist mit  $G_i$  auch  $G_{i+1}$  chordal.

**Korollar 2.32.** Es gibt einen Polynomialzeitalgorithmus A, der für einen gegebenen Graphen G eine PEO berechnet, falls G chordal ist, und andernfalls einen induzierten Kreis der Länge  $\geq 4$  ausgibt.

Beweis. A versucht wie im Beweis von Theorem 2.31 beschrieben, eine PEO zu bestimmen. Stellt sich heraus, dass  $G_i = G - \{u_{i+1}, \ldots, u_n\}$  keinen simplizialen Knoten  $u_i$  hat, so ist  $G_i$  wegen Lemma 2.30 nicht chordal. Daher gibt es in  $G_i$  nach Lemma 2.27 (iii) ein Knotenpaar x, y, so dass kein x-y-Separator eine Clique ist. Berechnen wir für dieses Paar einen beliebigen minimalen x-y-Separator S, so ist S keine Clique und wir können wie im Beweis von S0 einen induzierten Kreis S1 der Länge S2 in S3 konstruieren. Da S3 ein induzierter Teilgraph von S3 ist, ist S4 auch ein induzierter Kreis in S5.

Eine PEO kann verwendet werden, um einen chordalen Graphen zu färben:

#### Algorithmus chordal-color (V, E)

- berechne eine PEO  $(u_1, \ldots, u_n)$  für G = (V, E)
- starte greedy-color mit der Knotenfolge  $(u_1, \ldots, u_n)$

Satz 2.33. Für einen gegebenen chordalen Graphen G = (V, E) berechnet der Algorithmus chordal-color eine k-Färbung c von G mit  $k = \chi(G) = \omega(G)$ .

Beweis. Sei  $u_i$  ein beliebiger Knoten mit  $c(u_i) = k$ . Da  $(u_1, \ldots, u_n)$  eine PEO von G ist, ist  $u_i$  simplizial in  $G[u_1, \ldots, u_i]$ . Somit bilden die Nachbarn  $u_j$  von  $u_i$  mit j < i eine Clique und wegen  $c(u_i) = k$  bilden sie zusammen mit  $u_i$  eine k-Clique. Daher gilt  $\chi(G) \leq k \leq \omega(G)$ , woraus wegen  $\omega(G) \leq \chi(G)$  die Behauptung folgt.

Um chordal-color in Linearzeit zu implementieren, benötigen wir einen Linearzeit-Algorithmus zur Bestimmung einer PEO. Rose, Tarjan und Lueker haben 1976 einen solchen Algorithmus angegeben, der auf lexikographischer Breitensuche (kurz LexBFS oder LBFS, engl. lexicographic breadth-first search) basiert. Bevor wir diese

Variante der Breitensuche vorstellen, gehen wir kurz auf verschiedene Ansätze zum Durchsuchen von Graphen ein.

Der folgende Algorithmus GraphSearch(V, E) startet eine Suche in einem beliebigen Knoten u und findet zunächst alle von u aus erreichbaren Knoten. Danach wird solange von einem noch nicht erreichten Knoten eine neue Suche gestartet, bis alle Knoten erreicht wurden. Die Menge der aktuellen Knoten wird dabei in einer Datenstruktur A gespeichert. Genauer enthält A alle bereits entdeckten Knoten, die noch nicht abgearbeitet sind.

#### Algorithmus GraphSearch (V, E)

```
1 R := \emptyset // Menge der erreichten Knoten
_{2} L:=() // Ausgabeliste
3 repeat
     wähle u \in V \setminus R // u wurde neu entdeckt
     append(L, u)
     parent(u) := \bot
     A := \{u\} // Menge der aktuellen Knoten
     R := R \cup \{u\}
     while A \neq \emptyset do
       wähle u aus A
10
       if \exists v \in N(u) \setminus R then
11
         A := A \cup \{v\}
                         //v wurde neu entdeckt
12
         R := R \cup \{v\}
13
         append(L, v)
14
         parent(v) := u
15
       else entferne u aus A // u wurde abgearbeitet
16
17 until R = V
18 return(L)
```

Der Algorithmus GraphSearch (V, E) findet in jedem Durchlauf der repeat-Schleife eine neue Komponente des Eingabegraphen G = (V, E). Dies bedeutet, dass alle Knoten, die zu einer Komponente gehören,

konsekutiv in der Ausgabeliste  $L = (u_1, \ldots, u_n)$  auftreten, wobei abgesehen vom ersten Knoten jeder Komponente jeder Knoten  $u_k$  einen Nachbarn  $u_i$  mit i < k hat.

Die folgende Definition fasst diese Eigenschaften der Ausgabeliste zusammen.

**Definition 2.34.** Sei G = (V, E) ein Graph. Eine lineare Ordnung  $(u_1, \ldots, u_n)$  auf V heißt **Suchordnung (SO)** von G, wenn für jedes Tripel j < k < l gilt:

$$u_j \in N(u_l) \setminus N(u_k) \Rightarrow \exists i < k : i \neq j \land u_i \in N(u_k).$$

Satz 2.35. Für jeden Graphen G = (V, E) gibt der Algorithmus GraphSearch(V, E) eine SO von G aus.

Beweis. Ein Knoten  $u_k$  erhält nur dann den Wert  $\mathsf{parent}(u_k) = \bot$ , wenn alle Knoten  $u_j$  mit j < k bereits abgearbeitet sind und diese nur Nachbarn  $u_l$  mit l < k hatten. Falls also ein Vorgänger  $u_j$  von  $u_k$  mit einem Nachfolger  $u_l$  von  $u_k$  verbunden ist, liefert die  $\mathsf{parent}$ -Funktion einen Nachbarn  $u_i = \mathsf{parent}(u_k)$  von  $u_k$  mit i < k. Da  $u_j \notin N(u_k)$  ist, gilt zusätzlich  $i \neq j$ .

Die parent-Funktion induziert einen gerichteten Wald  $W = (V, E_{\mathsf{parent}})$ , dessen Kantenmenge aus allen Kanten der Form  $(\mathsf{parent}(v), v)$  mit  $\mathsf{parent}(v) \neq \bot$  besteht. Die Kanten von W werden auch als Baumkanten (kurz B-Kanten) und W wird auch als Suchwald von G = (V, E) bezeichnet. Für jeden Knoten  $v \in V$  gibt es genau eine Wurzel w in W, von der aus v in W erreichbar ist. Der eindeutig bestimmte w-v-Pfad  $P = (u_0, \ldots, u_l)$  in W mit  $u_0 = w$  und  $u_l = v$  lässt sich ausgehend von  $u_l = v$  unter Verwendung der parent-Funktion mittels  $u_{i-1} = \mathsf{parent}(u_i)$  für  $i = l, \ldots, 1$  berechnen. P wird auch als parent-pfad von v bezeichnet. Es ist klar, dass 2 Knoten v und v' genau dann in einer Komponente von G liegen, wenn sie die gleiche Wurzel haben.

Realisieren wir die Menge der aktuellen Knoten als einen Keller S, so erhalten wir eine Suchstrategie, die als Tiefensuche (kurz DFS, engl. depth first search) bezeichnet wird. Die Benutzung eines Kellers bewirkt, dass nach der Entdeckung eines neuen Knotens v unter den Nachbarn des aktuellen Knotens u die Suche zuerst bei den Nachbarn von v fortgesetzt wird, bevor die anderen Nachbarn von u getestet werden.

#### Algorithmus DFS(V, E)

```
_{1} R:=\emptyset // Menge der erreichten Knoten
_{2} L:= () // Ausgabeliste
3 repeat
     wähle u \in V \setminus R // u wurde neu entdeckt
     R := R \cup \{u\}
     append(L, u)
     parent(u) := \bot
     S := (u) // Keller der aktuellen Knoten
     while S \neq () do
       u := \mathsf{top}(S)
10
        if \exists v \in N(u) \backslash R then
11
          push(S, v) // v wurde neu entdeckt
12
         R := R \cup \{v\}
13
          append(L, v)
14
          parent(v) := u
15
       else pop(S) // u wurde abgearbeitet
16
17 until R = V
18 \operatorname{return}(L)
```

**Definition 2.36.** Sei G = (V, E) ein Graph. Eine lineare Ordnung  $(u_1, \ldots, u_n)$  auf V heißt **DFS-Ordnung** (**DO**) von G, wenn für jedes Tripel j < k < l gilt:

$$u_j \in N(u_l) \setminus N(u_k) \Rightarrow \exists i : j < i < k \land u_i \in N(u_k).$$

**Satz 2.37.** Für jeden Graphen G = (V, E) gibt der Algorithmus DFS(V, E) eine DO von G aus.

Beweis. Siehe Übungen.

Realisieren wir die Menge der abzuarbeitenden Knoten als eine Warteschlange Q, so findet der resultierende Algorithmus  $\mathsf{BFS}(V,E)$  einen kürzesten Weg vom Startknoten u zu allen von u aus erreichbaren Knoten. Diese Suchstrategie wird als Breitensuche (kurz BFS, engl. breadth first search) bezeichnet. Die Benutzung einer Warteschlange Q zur Speicherung der noch abzuarbeitenden Knoten bewirkt, dass alle Nachbarknoten v des aktuellen Knotens u vor den bisher noch nicht erreichten Nachbarn von v ausgegeben werden.

# Algorithmus BFS(V, E)

```
1 R := \emptyset // Menge der erreichten Knoten
_{2} L:=() // Ausgabeliste
3 repeat
     wähle u \in V \setminus R // u wurde neu entdeckt
     R := R \cup \{u\}
     parent(u) := \bot
     Q := (u) // Warteschlange der aktuellen Knoten
     while Q \neq () do
                           //u wird komplett abgearbeitet
       u := \mathsf{dequeue}(Q)
9
       append(L, u)
10
       for all v \in N(u) \setminus R do
11
         enqueue(Q, v) // v wurde neu entdeckt
12
         parent(v) := u
13
       R := R \cup N(u)
14
15 until R = V
16 return(L)
```

**Definition 2.38.** Sei G = (V, E) ein Graph. Eine lineare Ordnung  $(u_1, \ldots, u_n)$  auf V heißt **BFS-Ordnung (BO)** von G, wenn für jedes

Tripel j < k < l gilt:

$$u_j \in N(u_l) \setminus N(u_k) \Rightarrow \exists i < j : u_i \in N(u_k).$$

**Satz 2.39.** Für jeden Graphen G = (V, E) gibt der Algorithmus BFS(V, E) eine BO von G aus.

Beweis. Existiert im Fall k < l eine Position j < k mit  $u_j \in N(u_l) \setminus N(u_k)$ , so muss es einen Knoten  $u_i \in N(u_k)$  mit i < j geben, der dafür gesorgt hat, dass der Knoten  $u_k$  vor dem Knoten  $u_l$  in die Warteschlange aufgenommen wurde.

BFS-Ordnungen lassen sich anschaulich anhand der Adjazenzmatrix charakterisieren. Sei  $(u_1,\ldots,u_n)$  eine BO für G=(V,E) und sei  $A=(a_{ij})$  die Adjazenzmatrix von G mit  $a_{ij}=1\Leftrightarrow\{u_i,u_j\}\in E$ . Weiter seien  $z_i=a_{i1}\ldots a_{i,i-1}$  die Präfixe der Zeilen von A, die unterhalb der Diagonale verlaufen. Sind nun die ersten j Einträge  $a_{k1}\ldots a_{kj}$  einer Zeile  $s_k$  Null, so muss dies auch für jede Zeile  $s_l$  mit l>k so sein, da im Fall  $a_{lj}=1$  der Knoten  $u_j\in N(u_l)\setminus N(u_k)$  wäre und somit ein i< j mit  $a_{ki}=1$  existieren müsste. Dies bedeutet, dass  $s_l$  mindestens so viele Nullen als Präfix hat wie  $z_k$ . Es ist aber möglich, dass  $z_k$  bspw. mit 00010... beginnt und  $z_l$  mit 00011....

Alternativ können wir Q auch als eine Warteschlange von Knotenmengen realisieren (siehe Algorithmus BFS'), um einen Überblick über alle möglichen Fortsetzungen der aktuellen Liste L zu einer BO zu erhalten. Die Prozedur  $\mathsf{Dequeue}(Q)$  liefert ein beliebiges Element aus der ersten Menge in Q zurück und entfernt dieses aus Q.

#### Algorithmus BFS' (V, E)

```
\begin{array}{ll} 1 & R := \emptyset & // \text{ Menge der erreichten Knoten} \\ 2 & L := () & // \text{ Ausgabeliste} \\ 3 & \mathbf{repeat} \\ 4 & \text{ wähle } u \in V \backslash R \\ 5 & R := R \cup \{u\} \end{array}
```

```
Q := (\{u\}) \quad // \text{ Warteschlange von Knotenmengen}
\text{while } Q \neq () \text{ do}
\text{while } Q \neq () \text{ do}
\text{wishing } u := \text{Dequeue}(Q) \quad // u \text{ wird komplett abgearbeitet}
\text{append}(L, u)
\text{if } N(u) \not\subseteq R \text{ then enqueue}(Q, N(u) \backslash R)
\text{If } R := R \cup N(u)
\text{until } R = V
\text{return}(L)
```

#### $\mathbf{Prozedur}$ $\mathsf{Dequeue}(Q)$

```
entferne u aus first(Q)

if first(Q) = \emptyset then dequeue(Q)

return(u)
```

Fassen wir die Menge  $V \setminus R$  der noch nicht erreichten Knoten als Nachfolgemenge der letzten Menge in Q auf, so wird von dieser Restmenge in jedem Durchlauf der while-Schleife von BFS' die Teilmenge  $N(u) \setminus R$  abgetrennt und im Fall  $N(u) \setminus R \neq \emptyset$  der Schlange Q hinzugefügt.

Der Unterschied von LexBFS zur normalen Breitensuche besteht darin, dass die zulässigen Ausgabefolgen gegenüber der BFS weiter eingeschränkt werden. Der Name von LexBFS rührt daher, dass die Knoten in einer Reihenfolge ausgegeben werden, die eine lexikographische Sortierung der Zeilenpräfixe  $z_i$  bewirkt, sofern man sie durch Anhängen von Einsen auf die gleiche Länge bringt. Eine solche Sortierung kann auch bei einer gewöhnlichen Breitensuche auftreten, ist bei dieser aber nicht garantiert. Bei einer Breitensuche werden die noch nicht besuchten Nachbarn des aktuellen Knotens in beliebiger Reihenfolge zur Warteschlange hinzugefügt und auch wieder in dieser Reihenfolge entfernt. Dagegen werden bei einer LexBFS die Knoten in der Warteschlange nachträglich umsortiert, falls dies notwendig ist, um eine LexBFS-Ordnung der Knoten zu erhalten (siehe Definition 2.40). Ähnlich wie bei BFS' wird hierzu die Menge der noch

nicht abgearbeiteten Knoten in eine Folge von Knotenmengen zerlegt. Im Gegensatz zu BFS' kann LexBFS aber nicht nur die letzte Menge  $V \setminus R$  splitten, sondern alle Mengen der Folge.

#### Algorithmus LexBFS (V, E, u)

```
1 L := () // Ausgabeliste

2 Q := (V) // Warteschlange von Knotenmengen

3 while Q \neq () do

4 u := \text{Dequeue}(Q) // u wird komplett abgearbeitet

5 \text{append}(L, u)

6 \text{Splitqueue}(Q, N(u))

7 \text{return}(L)
```

#### **Prozedur** Splitqueue(Q, S)

```
for T in Q with T \cap S \notin \{\emptyset, T\} do ersetze die Teilfolge (T) in Q durch (T \cap S, T \setminus S)
```

Für eine effiziente Implementierung sollte die Schlange  $Q=(T_1,\ldots,T_k)$  von Knotenmengen  $T_i\subseteq V$  als doppelt verkettete Liste realisiert werden und für jeden Knoten v in der Adjazenzliste ein Zeiger auf die Menge  $T_i$ , die v enthält und auf seinen Eintrag in  $T_i$  gespeichert werden. Zudem sollte die for-Schleife in der Prozedur Splitqueue durch eine Schleife über die Knoten v in der Adjazenzliste S=N(u) ersetzt werden.

**Definition 2.40.** Sei G = (V, E) ein Graph. Eine lineare Ordnung  $(u_1, \ldots, u_n)$  auf V heißt **LexBFS-Ordnung (LBO)** von G, wenn für jedes Tripel j < k < l gilt:

$$u_j \in N(u_l) \setminus N(u_k) \Rightarrow \exists i < j : u_i \in N(u_k) \setminus N(u_l).$$

Ob eine Ordnung  $(u_1, \ldots, u_n)$  eine LBO ist, lässt sich wie folgt an der gemäß  $(u_1, \ldots, u_n)$  geordneten Adjazenzmatrix A ablesen: die verkürzten Zeilen  $z_1, \ldots, z_n$  unter der Diagonalen müssen im folgenden

Sinne lexikalisch sortiert sein: entweder ist  $z_i$  ein Präfix von  $z_{i+1}$  oder  $z_i$  hat an der ersten Position, wo sich die beiden Strings unterscheiden, eine Eins. Bringen wir also die verkürzten Zeilen durch Anhängen von Einsen auf dieselbe Länge, so sind sie lexikographisch sortiert. Man erhält sogar eine lexikographische Ordnung auf den kompletten Zeilen von A, falls man die Diagonale auf 1 setzt und die Knoten in jeder Menge von Q nach absteigendem Knotengrad in G sortiert.

Satz 2.41. Für jeden Graphen G = (V, E) gibt der Algorithmus LexBFS(V, E) eine LBO  $(u_1, \ldots, u_n)$  von G aus.

Beweis. Sei  $A = (a_{ij})$  die Adjazenzmatrix von G mit  $a_{ij} = 1 \Leftrightarrow \{u_i, u_j\} \in E$ . Wir zeigen, dass  $(u_1, \ldots, u_n)$  eine LBO ist. Existiert nämlich im Fall k < l eine Position j < k mit  $a_{kj} = 0$  und  $a_{lj} = 1$ , so muss es eine Position i < j mit  $a_{ki} = 1$  und  $a_{li} = 0$  geben. Ansonsten wäre der Knoten  $u_l$  spätestens beim Abarbeiten von  $u_j$  in eine Menge vor dem Knoten  $u_k$  sortiert worden und könnte daher nicht nach dem Knoten  $u_k$  ausgegeben werden.

Satz 2.42. Jede LBO für einen chordalen Graphen G ist eine PEO für G.

Beweis. Sei  $(u_1, \ldots, u_n)$  eine LBO für G = (V, E) und sei  $A = (a_{ij})$  die Adjazenzmatrix von G mit  $a_{ij} = 1 \Leftrightarrow \{u_i, u_j\} \in E$ , wobei wir für  $a_{ij}$  auch A[i, j] schreiben. Wir zeigen, dass G nicht chordal ist, wenn  $u_i$  nicht simplizial in  $G_i = G[u_1, \ldots, u_i]$  ist.

Falls  $u_i$  nicht simplizial in  $G_i$  ist, müssen Indizes  $i_2 < i_1 < i =: i_0$  mit  $A[i_0, i_1] = A[i_0, i_2] = 1$  und  $A[i_1, i_2] = 0$  existieren. Wegen  $A[i_1, i_2] = 0$  und  $A[i_0, i_2] = 1$  muss es einen Index  $i_3 < i_2$  geben mit  $A[i_1, i_3] = 1$  und  $A[i_0, i_3] = 0$ , wobei wir  $i_3$  möglichst klein wählen.

Falls nun  $A[i_2, i_3] = 1$  ist, haben wir einen induzierten Kreis  $G[u_{i_0}, u_{i_1}, u_{i_2}, u_{i_3}] = (u_{i_0}, u_{i_1}, u_{i_3}, u_{i_2})$  der Länge 4 in G gefunden. Andernfalls muss es wegen  $A[i_2, i_3] = 0$  und  $A[i_1, i_3] = 1$  einen Index

2 Färben von Graphen 2.3 Der Satz von Brooks

 $i_4 < i_3$  geben mit  $A[i_2,i_4] = 1$  und  $A[i_1,i_4] = 0$ , wobei wir  $i_4$  wieder möglichst klein wählen. Da spätestens für  $i_k = 1$  kein Index  $i_{k+1} < i_k$  existiert, also  $A[i_{k-1},i_k] = 1$  sein muss, erhalten wir eine Indexfolge  $1 \le i_k < \dots < i_1 < i_0$  mit

- (a)  $A[i_0, i_1] = A[i_j, i_{j+2}] = A[i_{k-1}, i_k] = 1$  für  $j = 0, \dots, k-2$  und
- (b)  $A[i_0, i_3] = A[i_j, i_{j+1}] = A[i_j, i_{j+3}] = A[i_{k-2}, i_{k-1}] = 0$  für  $j = 1, \ldots, k-3$  und
- (c)  $A[i_j, l] = A[i_{j-1}, l]$  für j = 1, ..., k-3 und  $l < i_{j+2}$ .

Die Eigenschaften (a) und (b) ergeben sich direkt aus der Konstruktion der Folge. Eigenschaft (c) folgt aus der minimalen Wahl der Indizes  $i_3, \ldots, i_k$  und impliziert für  $r=4,\ldots,k$  die Gleichungen  $A[i_0,i_r]=A[i_1,i_r]=\cdots=A[i_{r-3},i_r]$ , indem wir  $j=1,\ldots,r-3$  und  $l=i_r$  setzen. Da zudem  $A[i_{r-3},i_r]$  gemäß Eigenschaft (b) für  $r=3,\ldots,k$  den Wert 0 hat, folgt für alle Paare  $0\leq j < r \leq k$  die Äquivalenz

$$A[i_j, i_r] = 1 \Leftrightarrow r = j + 2 \text{ oder } j = 0 \land r = 1 \text{ oder } j = k - 1 \land r = k.$$

Folglich ist 
$$G[u_{i_0}, \ldots, u_{i_k}]$$
 ein Kreis der Länge  $k+1 \geq 4$ .

Damit haben wir einen Linearzeitalgorithmus, der für chordale Graphen eine PEO berechnet. Da auch greedy-color linear zeitbeschränkt ist, können wir den Algorithmus chordal-color in Linearzeit implementieren. Diesen Algorithmus können wir leicht noch so modifizieren, dass er zusammen mit der gefundenen k-Färbung entweder eine Clique C der Größe k (als Zertifikat, dass  $\chi(G) = k = \omega(G)$  ist) oder einen induzierten Kreis der Länge  $\geq 4$  (als Zertifikat, dass G nicht chordal ist) ausgibt.

## 2.3 Der Satz von Brooks

Satz 2.43 (Brooks 1941). Für einen zusammenhängenden Graphen G gilt  $\chi(G) = \Delta(G) + 1$  genau dann, wenn  $G = K_n$  für ein  $n \geq 1$ 

oder  $G = C_n$  für ein ungerades  $n \geq 3$  ist.

Beweis. Es ist klar, dass die Graphen  $G = K_n$  für  $n \ge 1$  und  $G = C_n$  für ungerades  $n \ge 3$  die chromatische Zahl  $\Delta(G) + 1$  haben.

Um zu zeigen, dass dies die einzigen zusammenhängenden Graphen mit  $\chi(G) = \Delta(G) + 1$  sind, betrachten wir verschiedene Fälle.

Falls G nicht regulär ist, können wir ausgehend von einem Knoten  $u_1$  vom Grad  $\deg_G(u_1) < \Delta(G)$  eine Suchordnung  $(u_1, \ldots, u_n)$  berechnen und G greedy in der umgekehrten Reihenfolge  $(u_n, \ldots, u_1)$   $\Delta(G)$ -färben. Dies ist möglich, da jeder Knoten  $u_i$  mit  $i \geq 2$  zum Zeitpunkt der Berechnung von  $c(u_i)$  noch einen ungefärbten Nachbar  $\mathsf{parent}(u_i)$  und  $u_1$  einen Grad  $\deg_G(u_1) < \Delta(G)$  hat.

Falls G regulär, aber nicht 2-zusammenhängend ist, berechnen wir  $\Delta(G)$ -Färbungen  $c_i$  für die einzelnen Blöcke  $B_i$  von G. Dies ist möglich, da jeder Block  $B_i$  mindestens einen Schnittknoten enthält und daher höchstens für ein  $k < \Delta(G)$  k-regulär ist. Die Färbungen  $c_i$  lassen sich ausgehend von einem beliebigen Wurzelblock des BC-Baums hin zu den Blattblöcken in eine  $\Delta(G)$ -Färbung c für G transformieren. Hierzu müssen wir lediglich die Farben im aktuellen Block  $B_i$  so umbenennen, dass der Schnittknoten, der  $B_i$  mit seinem Elternblock verbindet, die vorgegebene Farbe erhält.

Es bleibt also der Fall, dass G d-regulär und  $\kappa(G) \geq 2$  ist. Der Fall d=2 ist klar, da G ein Kreis sein muss. Für den Fall  $d\geq 3$  benutzen wir folgende Behauptung.

Behauptung 2.44. Sei  $d \geq 3$  und sei  $G \neq K_n$  ein d-regulär Graph mit  $\kappa(G) \geq 2$ . Dann gibt es in G einen Knoten  $u_1$ , der zwei nichtadjazente Nachbarn a und b hat, so dass  $G - \{a, b\}$  zusammenhängend ist.

Da  $G \neq K_n$  ist, gibt es einen Knoten x, der zwei Nachbarn  $y, z \in N(x)$  mit  $\{y, z\} \notin E$  hat. Wir betrachten folgende zwei Fälle.

2 Färben von Graphen 2.4 Kantenfärbungen

• Falls G - y 2-zusammenhängend ist, ist  $G - \{y, z\}$  zusammenhängend und die Behauptung folgt für  $u_1 = x$ .

• Ist G-y nicht 2-zusammenhängend, d.h. G-y hat mindestens zwei Blöcke, dann hat der BC-Baum T von G-y mindestens zwei Blätter. Da  $\kappa(G) \geq 2$  ist, ist y in G zu mindestens einem Knoten in jedem Blatt von T benachbart, der kein Schnittknoten ist. Wählen wir für a und b zwei dieser Knoten in verschiedenen Blättern, so ist  $G-\{a,b\}$  zusammenhängend und somit die Behauptung für  $u_1=y$  bewiesen.

Sei also  $u_1$  ein Knoten, der zwei Nachbarn a und b mit  $\{a,b\} \not\in E$  hat, so dass  $G - \{a,b\}$  zusammenhängend ist. Durchsuchen wir den Graphen  $G - \{a,b\}$  ausgehend vom Startknoten  $u_1$ , so erhalten wir eine Suchordnung  $(u_1,\ldots,u_{n-2})$ . Starten wir nun **greedy-color** mit der Reihenfolge  $(a,b,u_{n-2},\ldots,u_1)$ , so erhalten wir eine d-Färbung c für G mit c(a) = c(b) = 1. Zudem hat Knoten  $u_i$ , i > 1, einen Nachbarn  $u_j$  mit j < i, weshalb  $c(u_i) \le \deg(u_i) \le d$  ist. Zuletzt erhält auch  $u_1$  eine Farbe  $c(u_1) \le d$ , da die Nachbarn a und b von  $u_1$  dieselbe Farbe haben.

# 2.4 Kantenfärbungen

Neben der Frage, mit wievielen Farben die Knoten eines Graphen gefärbt werden können, muss bei vielen Anwendungen auch eine Kantenfärbung mit möglichst wenigen Farben gefunden werden.

**Definition 2.45.** Sei G = (V, E) ein Graph und sei  $k \in \mathbb{N}$ .

- a) Eine Abbildung c:  $E \to \mathbb{N}$  heißt **Kantenfärbung** von G, wenn  $c(e) \neq c(e')$  für alle  $e \neq e' \in E$  mit  $e \cap e' \neq \emptyset$  gilt.
- b) G heißt **k-kantenfärbbar**, falls eine Kantenfärbung  $c: E \rightarrow \{1, \ldots, k\}$  existiert.
- c) Die kantenchromatische Zahl oder der chromatische Index von G ist

$$\chi'(G) = \min\{k \in \mathbb{N} \mid G \text{ ist } k\text{-kantenf\"arbbar}\}.$$

Eine k-Kantenfärbung  $c \colon E \to \mathbb{N}$  muss also zwei Kanten, die einen Knoten gemeinsam haben, verschiedene Farben zuweisen. Daher bildet jede **Farbklasse**  $E_i = \{e \in E \mid f(e) = i\}$  ein Matching von G, d.h. c zerlegt E in k disjunkte Matchings. Umgekehrt liefert jede Zerlegung von E in k disjunkte Matchings eine k-Kantenfärbung von G.

Neben Graphen treten in manchen Anwendungen auch **Multigraphen** G = (V, E) auf. Diese können mehr als eine Kante zwischen zwei Knoten haben, d.h. E ist eine Multimenge auf  $\binom{V}{2}$ .

Eine **Multimenge** A auf einer Grundmenge M lässt sich durch eine Funktion  $v_A \colon M \to \mathbb{N}$  beschreiben, wobei  $v_A(a)$  die Anzahl der Vorkommen des Elements a in A angibt. Die Mächtigkeit von A ist  $|A| = \sum_{a \in A} v_A(a)$ .

Wie bei Graphen gehen wir davon aus, dass jede Kante  $e = \{u, v\}$  eines Multigraphen G = (V, E) zwei verschiedene Endpunkte  $u \neq v$  hat, d.h. G ist schlingenfrei. In G gibt es genau  $v_E(e) = v_E(u, v)$  Kanten zwischen den beiden Knoten u und v. Die Zahl  $v_E(e)$  wird auch als **(Kanten-)Vielfachheit** von e bezeichnet. Ein wichtiger Parameter von Multigraphen ist die maximale Kantenvielfachheit

$$v(G) = \max_{e \in E} v_E(e),$$

die auch als (Graph-)Vielfachheit von G bezeichnet wird. Der Grad eines Knotens  $u \in V$  ist  $\deg_G(u) = \sum_{v \in N(u)} v_E(u, v)$  und der Maximalgrad von G ist wie üblich  $\Delta(G) = \max_{u \in V} \deg_G(u)$ .

Eine k-Kantenfärbung für einen Multigraphen G=(V,E) lässt sich durch eine Funktion c beschreiben, die jeder Kante  $e \in \binom{V}{2}$  eine Menge  $c(e) \subseteq \{1, \ldots, k\}$  von  $|c(e)| = v_E(e)$  Farben zuordnet, so dass  $c(e) \cap c(e') = \emptyset$  für alle  $e \neq e' \in \binom{V}{2}$  mit  $e \cap e' \neq \emptyset$  gilt.

#### Beispiel 2.46.

$$\chi'(C_n) = \begin{cases} 2, & n \text{ gerade,} \\ 3, & sonst, \end{cases}$$
$$\chi'(K_n) = 2\lceil n/2 \rceil - 1 = \begin{cases} n-1, & n \text{ gerade,} \\ n, & sonst. \end{cases}$$

Das Kantenfärbungsproblem für einen Graphen G lässt sich leicht auf das Knotenfärbungsproblem für einen Graphen G' reduzieren.

**Definition 2.47.** Sei G' = (V, E') ein Graph mit  $m \ge 1$  Kanten. Dann heißt der Graph G = L(G') = (E', E) mit

$$E = \left\{ \{e, e'\} \in \binom{E'}{2} \mid e \cap e' \neq \emptyset \right\}$$

der Kantengraph oder Line-Graph von G'.

Ist G' ein Multigraph, so verwenden wir als Knotenmenge von L(G') eine Menge  $V_{E'}$  mit der Mächtigkeit  $|V_{E'}| = |E'|$ , die  $v_{E'}(e)$  verschiedene Kopien  $e^1, \ldots, e^{v_E(e)}$  jeder Kante  $e \in E'$  enthält. Die folgenden Beziehungen zwischen einem (Multi-)Graphen G' und dem zugehörigen Line-Graphen lassen sich leicht verifizieren.

**Proposition 2.48.** Für den Line-Graphen G' = (V', E') = L(G) eines Multigraphen G = (V, E) gilt:

- (i) n(G') = m(G),
- (ii)  $\chi(G') = \chi'(G)$ ,
- (iii)  $\alpha(G') = \mu(G)$ ,
- (iv)  $\omega(G') \ge \Delta(G)$ ,
- (v) Für jede Kante  $e = \{u, v\} \in E$  gilt  $\deg_{G'}(e) = \deg_{G}(u) + \deg_{G}(v) v_{E}(e) 1$  und somit ist  $\Delta(G') \leq 2\Delta(G) 2$ .

Damit erhalten wir aus den Abschätzungen  $\omega(G') \leq \chi(G') \leq \Delta(G') + 1$  und  $n/\alpha(G') \leq \chi(G') \leq n - \alpha(G') + 1$  die folgenden Abschätzungen für  $\chi'(G)$ .

**Lemma 2.49.** Für jeden Multigraphen G mit  $m \geq 1$  Kanten gilt  $\Delta \leq \chi' \leq 2\Delta - 1$  und  $m/\mu \leq \chi' \leq m - \mu + 1$ .

**Korollar 2.50.** Für jeden regulären Multigraphen mit einer ungeraden Knotenzahl und  $m \ge 1$  Kanten gilt  $\chi' \ge \Delta + 1 \ge 3$ .

Beweis. Wegen  $\mu \leq (n-1)/2$  und  $m = n\Delta/2$  folgt  $\chi' \geq m/\mu \geq n\Delta/(n-1) > \Delta$ . Da n ungerade und  $m \geq 1$  ist, folgt  $\Delta \geq 2$ .

Als nächstes geben wir einen effizienten Algorithmus an, der für jeden Graphen eine  $(\Delta+1)$ -Kantenfärbung berechnet. Hierfür benötigen wir folgende Begriffe.

**Definition 2.51.** Sei G = (V, E) ein Graph und sei  $c: E \rightarrow \{1, \ldots, k\}$  eine k-Kantenfärbung von G. Weiter sei  $F \subseteq \{1, \ldots, k\}$  und es gelte  $1 \le i \ne j \le k$ .

- a) Ein Nachbar v von u heißt  $\mathbf{F}$ -Nachbar von u, wenn  $c(u,v) \in F$  ist. Im Fall  $F = \{i\}$  nennen wir v auch den i-Nachbarn von u.
- b) Die Farbe i ist **frei** an einem Knoten u (kurz  $i \in free(u)$ ), falls u keinen i-Nachbarn hat.
- c) Der Graph  $G_{ij} = (V, E_{ij})$  mit  $E_{ij} = \{e \in E \mid c(e) \in \{i, j\}\}$  heißt (i, j)-Subgraph von G.
- d) Jede Komponente K von  $G_{ij}$  heißt (i, j)-Komponente von G. Je nachdem ob K ein Pfad oder ein Kreis ist, nennen wir K auch einen (i, j)-Pfad bzw. (i, j)-Kreis in G (bzgl. c).

Man sieht leicht, dass jede (i, j)-Komponente K von G entweder ein Pfad der Länge  $l \geq 0$  oder ein Kreis gerader Länge ist. Zudem können wir aus c eine weitere k-Kantenfärbung c' von G gewinnen, indem wir die beiden Farben i und j entlang der Kanten von K vertauschen.

2 Färben von Graphen 2.4 Kantenfärbungen

Satz 2.52 (Vizing 1964). Für jeden Graphen G gilt  $\chi'(G) \leq \min_{e \in E} \Delta(G - e) + 1 \leq \Delta(G) + 1$ .

Beweis. Wir führen Induktion über m. Der IA m=0 ist klar. Für den IS sei G'=(V,E') ein Graph mit m+1 Kanten und sei  $k=\min_{e\in E'}\Delta(G'-e)+1$ . Wir wählen eine beliebige Kante  $e_1=\{y_0,y_1\}\in E',$  so dass der Graph  $G=G'-e_1$  den Maximalgrad  $\Delta(G)=k-1$  hat. Dann hat G nach IV eine k-Kantenfärbung  $c\colon E\to\{1,\ldots,k\}.$  Da zudem unter c an jedem Knoten u mindestens  $k-\deg_G(u)\geq 1$  Farben frei sind, folgt  $free(u)\neq\emptyset$  für alle  $u\in V$ . Betrachte nun folgende Prozeduren.

# **Prozedur** expand $(G, c, y_0, y_1)$

```
\ell := 1
1
     wähle \alpha_1 \in free(y_1)
     while \alpha_{\ell} \notin free(y_0) \cup \{\alpha_1, \dots, \alpha_{\ell-1}\} do
         sei y_{\ell+1} der \alpha_{\ell}-Nachbar von y_0
4
         wähle \alpha_{\ell+1} \in free(y_{\ell+1})
        \ell := \ell + 1
     wähle 0 < i < \ell minimal mit \alpha_{\ell} \in free(y_0) \cup \{\alpha_1, \dots, \alpha_i\}
     if i = 0 then // \alpha_{\ell} \in free(y_0)
         recolor(\ell, \alpha_{\ell})
     else // \alpha_{\ell} = \alpha_{i}
10
         wähle eine Farbe \alpha_0 \in free(y_0)
11
         berechne den (\alpha_0, \alpha_i)-Pfad P mit Startknoten y_\ell und
12
         vertausche dabei die Farben \alpha_0 und \alpha_i entlang P
13
         sei z der Endknoten von P // z = y_{\ell} ist möglich
14
         case
15
            z = y_0: recolor(i, \alpha_i)
16
            z = y_i : \mathsf{recolor}(i, \alpha_0)
17
         else recolor(\ell, \alpha_0)
18
     return c
```

#### Prozedur recolor $(i, \alpha)$

```
for j := 1 to i - 1 do c(y_0, y_j) := \alpha_j
c(y_0, y_i) := \alpha
```

Wir verifizieren, dass die Abbildung c eine Kantenfärbung von G' ist.

**Fall 1** i = 0: Da die Farbe  $\alpha_{\ell}$  an  $y_0$  und die Farbe  $\alpha_j$  für  $j = 1, \ldots, \ell$  an  $y_j$  frei ist, kann  $\mathsf{recolor}(\ell, \alpha_{\ell})$  die Kanten  $\{y_0, y_j\}$  mit  $\alpha_j$  färben.

**Fall 2**  $i > 0 \land z = y_0$ : In diesem Fall erreicht P den Knoten  $z = y_0$  über die Kante  $\{y_0, y_{i+1}\}$ . Nach dem Vertauschen von  $\alpha_0$  und  $\alpha_i$  entlang P hat diese Kante dann die Farbe  $\alpha_0$ , weshalb  $\mathsf{recolor}(i, \alpha_i)$  die Kanten  $\{y_0, y_j\}$  für  $j = 1, \ldots, i$  mit  $\alpha_j$  färben kann.

**Fall 3**  $i > 0 \land z = y_i$ : Da  $\alpha_i \in free(y_i) \cap free(y_\ell)$  ist, müssen die Endkanten von P mit  $\alpha_0$  gefärbt sein. Nach Vertauschen von  $\alpha_0$  und  $\alpha_i$  entlang P ist daher die Farbe  $\alpha_0$  an  $y_0$  und  $y_i$  frei, weshalb  $\mathsf{recolor}(i,\alpha_0)$  die Kanten  $\{y_0,y_j\}$  für  $j=1,\ldots,i-1$  mit  $\alpha_j$  und die Kante  $\{y_0,y_i\}$  mit  $\alpha_0$  färben kann.

**Fall 4**  $i > 0 \land z \notin \{y_0, y_i\}$ : Da die Farbe  $\alpha_0$  durch Vertauschen von  $\alpha_0$  und  $\alpha_i$  entlang P an  $y_\ell$  frei wird und zudem die Farbe  $\alpha_j$  für  $j = 0, \dots, \ell - 1$  wegen  $z \notin \{y_0, y_i\}$  und  $\alpha_j \notin \{\alpha_0, \alpha_i\}$  für  $j \notin \{0, i\}$  an  $y_j$  frei bleibt, kann  $\mathsf{recolor}(\ell, \alpha_0)$  die Kanten  $\{y_0, y_j\}$  für  $j = 1, \dots, \ell - 1$  mit  $\alpha_j$  und die Kante  $\{y_0, y_\ell\}$  mit  $\alpha_0$  färben.

Da die Prozedur **expand** mit Hilfe geeigneter Datenstrukturen so implementiert werden kann, dass jeder Aufruf Zeit  $\mathcal{O}(n)$  erfordert, und diese Prozedur m-mal aufgerufen wird, um alle m Kanten eines gegebenen Graphen G zu färben, ergibt sich eine Gesamtlaufzeit von  $\mathcal{O}(nm)$ .

Für einen Graphen G kann  $\chi'(G)$  nur einen der beiden Werte  $\Delta(G)$  oder  $\Delta(G) + 1$  annehmen. Graphen G mit  $\chi'(G) = \Delta(G)$  heißen **Klasse 1** und Graphen G mit  $\chi'(G) = \Delta(G) + 1$  heißen **Klasse 2**. Neben den vollständigen Graphen  $K_n$  mit gerader Knotenzahl  $K_n$  sind alle Graphen  $K_n$  mit  $K_n$  mit gerader Knotenzahl  $K_n$  sind alle Graphen  $K_n$  mit  $K_n$  mit gerader Knotenzahl  $K_n$  sind alle Graphen  $K_n$  mit  $K_n$  mit gerader Knotenzahl  $K_n$  sind alle Graphen  $K_n$  mit gerader Knotenzahl  $K_n$  mit gerader Knoten

2 Färben von Graphen 2.4 Kantenfärbungen

Zudem sind alle planaren Graphen G mit  $\Delta(G) \geq 7$  Klasse 1. Für  $2 \leq d \leq 5$  existieren planare Graphen G mit  $\Delta(G) = d$ , die Klasse 2 sind. Für d = 6 ist dies offen.

Das Problem, für einen gegebenen Graphen G zu entscheiden, ob er Klasse 1 ist (also  $\chi'(G) \leq \Delta(G)$  gilt), ist NP-vollständig.

Der Satz von Vizing lässt sich wie folgt auf Multigraphen verallgemeinern.

Satz 2.53 (Vizing 1964). Für jeden Multigraphen G = (V, E) gilt  $\chi'(G) \leq \max_{u,v \in V} (\deg(u) + v_E(u,v)) \leq \Delta(G) + v(G)$ .

Beweis. Der Beweis folgt derselben Argumentation wie bei einfachen Graphen. Wir müssen nur die Prozeduren expand und recolor entsprechend anpassen.

#### **Prozedur** multiexpand $(G, c, y_0, y_1)$

```
\ell := 1; Y := \{y_1\}
     wähle \alpha_1 \in free(y_1); used(y_1) := \{\alpha_1\}
     while \alpha_{\ell} \notin free(y_0) \cup \{\alpha_1, \dots, \alpha_{\ell-1}\} do
         sei y_{\ell+1} der \alpha_{\ell}-Nachbar von y_0;
4
         if y_{\ell+1} \notin Y then Y := Y \cup \{y_{\ell+1}\}; used(y_{\ell+1}) := \emptyset
         wähle \alpha_{\ell+1} \in free(y_{\ell+1}) \setminus used(y_{\ell+1})
         used(y_{\ell+1}) := used(y_{\ell+1}) \cup \{\alpha_{\ell+1}\}\
         \ell := \ell + 1
      wähle 0 < i < \ell minimal mit \alpha_{\ell} \in free(y_0) \cup \{\alpha_1, \dots, \alpha_i\}
      if i = 0 then
                                // \alpha_{\ell} \in free(y_0)
         multirecolor(\ell, \alpha_{\ell})
11
                                  // \alpha_{\ell} = \alpha_i für ein i > 1
     else
12
         wähle eine Farbe \alpha_0 \in free(y_0)
13
         berechne den (\alpha_0, \alpha_i)-Pfad P mit Startknoten y_\ell und
14
         vertausche dabei die Farben \alpha_0 und \alpha_i entlang P
15
         sei z der Endknoten von P // z = y_{\ell} ist möglich
16
17
            z = y_0: multirecolor(i, \alpha_i)
18
```

```
19 z=y_i: multirecolor(i,\alpha_0)
20 else multirecolor(\ell,\alpha_0)
```

# **Prozedur** multirecolor $(i, \alpha)$

```
for j := 1 to i - 1 do c(y_0, y_j) := (c(y_0, y_j) \setminus \{\alpha_{j-1}\}) \cup \{\alpha_j\}

c(y_0, y_i) := (c(y_0, y_i) \setminus \{\alpha_{i-1}\}) \cup \{\alpha\}
```

In den Übungen zeigen wir noch folgende Schranken.

Korollar 2.54. Sei G ein Multigraph. Dann gilt

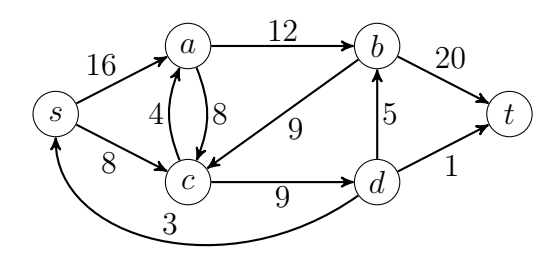
- (i)  $\chi'(G) \leq 3\Delta(G)/2$  und
- (ii)  $\chi'(G) = \Delta(G)$ , falls G bipartit (also  $\chi(G) \leq 2$ ) ist.

Man beachte, dass für jeden Multigraphen die Ungleichungen  $\Delta(G) \leq \Delta(G) + v(G) \leq 2\Delta(G)$  gelten.

## 3 Flüsse in Netzwerken

**Definition 3.1.** Ein **Netzwerk** N = (V, E, s, t, c) besteht aus einem gerichteten Graphen G = (V, E) mit einer **Quelle**  $s \in V$  und einer **Senke**  $t \in V$  sowie einer **Kapazitätsfunktion**  $c : V \times V \to \mathbb{N}$ . Zudem muss jede Kante  $(u, v) \notin E$  positive Kapazität c(u, v) > 0 und jede Nichtkante  $(u, v) \notin E$  muss die Kapazität c(u, v) = 0 haben.

Beispiel 3.2. Die Abbildung zeigt ein Netzwerk N:



Definition 3.3.

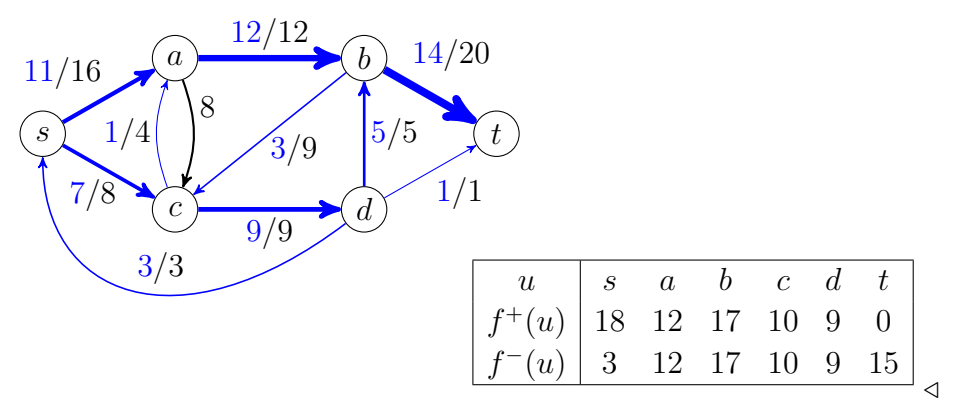
a) Ein **Fluss in N** ist eine Funktion  $f: V \times V \to \mathbb{Z}$  mit  $f(u,v) \leq c(u,v),$  (Kapazitätsbedingung) f(u,v) = -f(v,u) und (Antisymmetrie)  $\sum_{v \in V} f(u,v) = 0$  für alle  $u \in V \setminus \{s,t\}$ . (Kontinuität)

- b) Die Größe von f ist  $|f| = \sum_{v \in V} f(s, v)$ .
- c) Der Fluss in den Knoten u ist  $f^-(u) = \sum_{v \in V} \max\{0, f(v, u)\}.$
- d) Der **Fluss aus u** ist  $f^+(u) = \sum_{v \in V} \max\{0, f(u, v)\}$ .

Die Antisymmetrie impliziert, dass f(u, u) = 0 für alle  $u \in V$  gilt und  $|f| = f^+(s) - f^-(s)$  ist. Wir können also annehmen, dass c(u, u) = 0

für alle Knoten  $u \in V$  gilt und somit G schlingenfrei ist. Die Kontinuität besagt, dass  $f^+(u) = f^-(u)$  für alle Knoten  $u \in V \setminus \{s, t\}$  gilt.

**Beispiel 3.4** (Fortsetzung). Die Abbildung zeigt einen Fluss f der  $Gr\ddot{o}\beta e |f| = \sum_{v \in V} f(u, v) = 11 + 7 - 3 = 15$  in N:



# 3.1 Der Ford-Fulkerson-Algorithmus

Wie kann man für einen Fluss f in einem Netzwerk N entscheiden, ob er vergrößert werden kann? Diese Frage ist leicht zu beantworten, falls f auf  $V \times V$  den Wert 0 hat: In diesem Fall genügt es, in G = (V, E) einen Pfad von s nach t zu finden. Andernfalls können wir zu N und f ein Netzwerk  $N_f$  konstruieren, so dass f genau dann vergrößert werden kann, wenn sich in  $N_f$  der Nullfluss vergrößern lässt.

**Definition 3.5.** Sei N = (V, E, s, t, c) ein Netzwerk und sei f ein Fluss in N. Das zugeordnete **Restnetzwerk** ist  $N_f = (V, E_f, s, t, c_f)$  mit den Kapazitäten

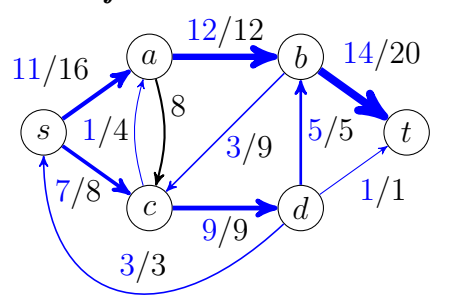
$$c_f(e) = c(e) - f(e)$$

 $f\ddot{u}r$  alle  $e \in V \times V$  und der Kantenmenge

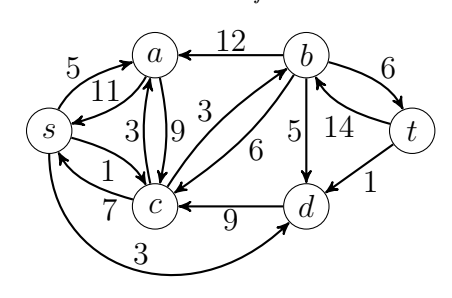
$$E_f = \{ e \in V \times V \mid c_f(e) > 0 \}.$$

Beispiel 3.6 (Fortsetzung). Der Fluss f führt auf folgendes Restnetzwerk  $N_f$  für N:

Fluss f in N:



Restnetzwerk  $N_f$ :



**Definition 3.7.** Sei N=(V,E,s,t,c) ein Netzwerk. Dann heißt jeder s-t-Pfad P in (V,E) **Zunahmepfad in N**. Die **Kapazität von P in N** ist

$$c(P) = \min\{c(u, v) \mid (u, v) \text{ liegt auf } P\}$$

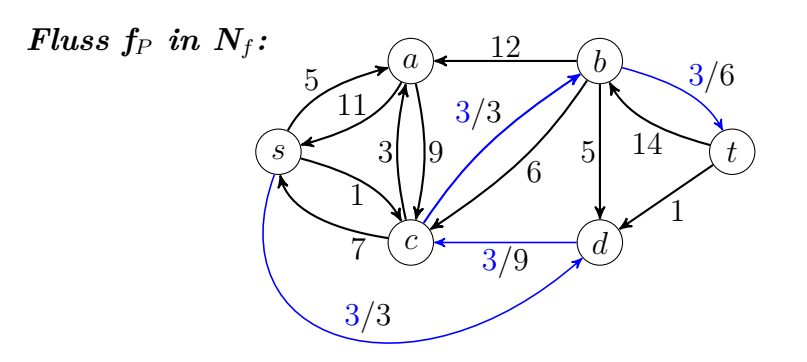
und der Fluss durch P in N ist

$$f_P(u,v) = \begin{cases} c(P), & (u,v) \text{ liegt auf } P, \\ -c(P), & (v,u) \text{ liegt auf } P, \\ 0, & \text{sonst.} \end{cases}$$

Es ist leicht zu sehen, dass  $f_P$  tatsächlich ein Fluss in N ist.  $P = (u_0, \ldots, u_k)$  ist also genau dann ein Zunahmepfad in  $N_f$ , falls

- $u_0 = s$  und  $u_k = t$  ist,
- die Knoten  $u_0, \ldots, u_k$  paarweise verschieden sind
- und  $c(u_i, u_{i+1}) > 0$  für i = 0, ..., k-1 gilt.

**Beispiel 3.8** (Fortsetzung). Die Abbildung zeigt den zum Zunahmepfad P = (s, d, c, b, t) gehörigen Fluss  $f_P$  im Restnetzwerk  $N_f$ :

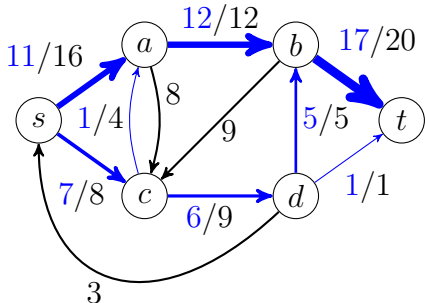


Die Kapazität von P in  $N_f$  ist  $c_f(P) = 3$ .

Durch Addition der beiden Flüsse f und  $f_P$  erhalten wir einen Flüss  $f' = f + f_P$  in N der Größe  $|f'| = |f| + |f_P| = |f| + c_f(P) > |f|$ .

**Beispiel 3.9** (Fortsetzung). Durch Addition von f und  $f_P$  erhalten wir folgenden Fluss f' in N:

Fluss  $f' = f + f_P$  in N:

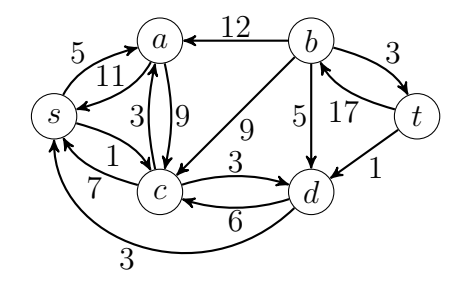


Nun können wir den Ford-Fulkerson-Algorithmus angeben.

**Algorithmus** Ford-Fulkerson(V, E, s, t, c)

- for all  $(u,v) \in E \cup E^R$  do
- f(u,v) := 0
- ${f while}$  es gibt einen Zunahmepfad P in  $N_f$  do
- $f := f + f_P$

Beispiel 3.10 (Fortsetzung). Für den neuen Fluss f' erhalten wir nun folgendes Restnetzwerk  $N_{f'}$ :



In diesem existiert kein Zunahmepfad mehr.

Um zu zeigen, dass der Algorithmus von Ford-Fulkerson tatsächlich einen Maximalfluss berechnet, weisen wir nach, dass f ein Fluss maximaler Größe in N ist, wenn im Restnetzwerk  $N_f$  kein Zunahmepfad existiert. Hierzu benötigen wir den Begriff des Schnitts.

**Definition 3.11.** Sei N = (V, E, s, t, c) ein Netzwerk. Eine Menge S mit  $\emptyset \subsetneq S \subsetneq V$  heißt **Schnitt** durch N. Der zugehörige **Kantenschnitt** ist  $E(S) = \{(u, v) \in E \mid u \in S, v \notin S\}$  (dieser wird oft auch einfach als **Schnitt** bezeichnet). Die **Kapazität eines Schnittes** S ist

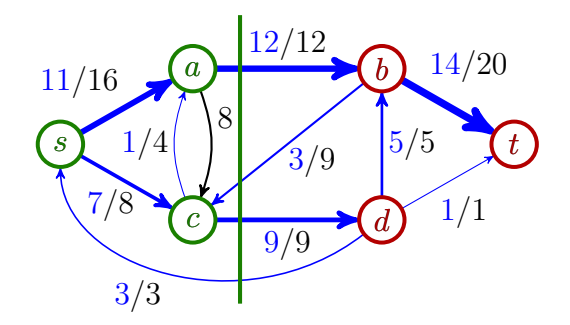
$$c(S) = \sum_{e \in E(S)} c(e).$$

Ist f ein Fluss in N, so heißt

$$f(S) = \sum_{e \in E(S)} f(e)$$

der Nettofluss (oder einfach Fluss) durch den Schnitt S. Ist  $u \in S$  und  $v \notin S$ , so wird S auch als u-v-Schnitt bezeichnet.

**Beispiel 3.12.** Betrachte folgenden Schnitt  $S = \{s, a, c\}$  durch das Netzwerk N mit dem Fluss f:



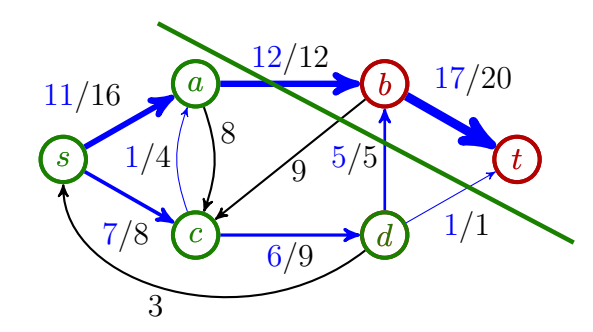
Dieser Schnitt hat die Kapazität

$$c(S) = c(a, b) + c(c, d) = 12 + 9 = 21$$

und der Fluss f durch ihn ist

$$f(S) = f(a, b) + f(c, b) + f(c, d) + f(s, d)$$
  
= 12 - 3 + 9 - 3  
= 15.

Dagegen hat der Schnitt  $S' = \{s, a, c, d\}$ 



die Kapazität

$$c(S') = c(a, b) + c(d, b) + c(d, t) = 12 + 5 + 1 = 18$$

die mit dem Fluss

$$f(S') = f(a, b) + f(d, b) + f(d, t) = 12 + 5 + 1 = 18$$

◁

durch ihn übereinstimmt.

**Lemma 3.13.** Für jeden Fluss f in einem Netzwerk N und jeden s-t-Schnitt S durch N gilt

$$|f| = f(S) \le c(S).$$

Beweis. Wir zeigen zuerst die Ungleichung  $f(S) \leq c(S)$ . Wegen  $f(e) \leq c(e)$  für alle  $e \in V \times V$  gilt

$$f(S) = \sum_{e \in E(S)} f(e) \le \sum_{e \in E(S)} c(e) = c(S).$$

Die Gleichheit |f| = f(S) zeigen wir durch Induktion über k = |S|. k = 1: In diesem Fall ist  $S = \{s\}$  und wegen f(s, s) = 0 folgt

$$|f| = \sum_{v} f(s, v) = \sum_{v \neq s} f(s, v) = f(S).$$

 $k \leadsto k+1$ : Sei S ein s-t-Schnitt mit |S|=k>1 und sei  $w\in S-\{s\}$ . Für den Schnitt  $S'=S-\{w\}$  gilt dann nach IV |f|=f(S'). Wegen  $S=S'\cup\{w\}$  folgt dann

$$f(S) = \sum_{u \in S, v \notin S} f(u, v) = \sum_{u \in S', v \notin S} f(u, v) + \sum_{v \notin S} f(w, v)$$

und wegen  $V \setminus S' = (V \setminus S) \cup \{w\}$  folgt

$$f(S') = \sum_{u \in S', v \notin S'} f(u, v) = \sum_{u \in S', v \notin S} f(u, v) + \sum_{u \in S'} f(u, w).$$

Daher erhalten wir

$$f(S) - f(S') = \sum_{v \notin S} f(w, v) - \sum_{u \in S'} \underbrace{f(u, w)}_{=-f(w, u)} = \sum_{v \neq w} f(w, v) = 0$$

und somit f(S) = f(S') = |f|.

Satz 3.14 (Max-Flow-Min-Cut-Theorem). Für einen Fluss f in einem Netzwerk N = (V, E, s, t, c) sind folgende Aussagen äquivalent:

- 1. f ist maximal, d.h. für jeden Fluss f' in N gilt  $|f'| \leq |f|$ .
- 2. Im Restnetzwerk  $N_f$  existiert kein Zunahmepfad.
- 3. Es gibt einen s-t-Schnitt S durch N mit c(S) = |f|.

Beweis. Die Implikation  $1 \Rightarrow 2$  ist klar, da die Existenz eines Zunahmepfads in  $N_f$  zu einer Vergrößerung von f führen würde.

Für die Implikation  $2 \Rightarrow 3$  betrachten wir den Schnitt

$$S = \{u \in V \mid u \text{ ist in } N_f \text{ von } s \text{ aus erreichbar}\}.$$

Dann gilt  $t \notin S$  (da in  $N_f$  kein Zunahmepfad existiert) und für alle Kanten  $e = (u, v) \in E(S)$  ist  $c_f(e) = c(e) - f(e) = 0$  (sonst wäre mit u auch v in S enthalten). Daher folgt

$$|f| = f(S) = \sum_{e \in E(S)} f(e) = \sum_{e \in E(S)} c(e) = c(S).$$

Die Implikation  $3 \Rightarrow 1$  folgt direkt aus obigem Lemma, da jeder Fluss f' in N im Fall c(S) = |f| einen Wert  $|f'| = f'(S) \le c(S) = |f|$  hat.

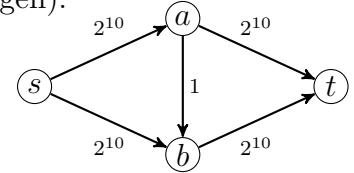
Das Max-Flow-Min-Cut-Theorem gilt auch für Netzwerke mit beliebigen reellen Kapazitäten  $c(e) \ge 0$ .

Sei  $c_0 = c(S)$  die Kapazität des Schnittes  $S = \{s\}$ . Dann durchläuft der Ford-Fulkerson-Algorithmus die while-Schleife höchstens  $c_0$ -mal, da sich der aktuelle Fluss in jedem Durchlauf um mindestens 1 erhöht. Bei jedem Durchlauf ist zuerst das Restnetzwerk  $N_f$  und danach ein Zunahmepfad in  $N_f$  zu berechnen.

- Die Berechnung des Zunahmepfads P kann durch Breitensuche in Zeit  $\mathcal{O}(n+m)$  erfolgen.
- Da sich das Restnetzwerk nur entlang von P ändert, kann es in Zeit  $\mathcal{O}(n)$  aktualisiert werden.

Jeder Durchlauf benötigt also Zeit  $\mathcal{O}(n+m)$ , was auf eine Gesamtlaufzeit von  $\mathcal{O}(c_0(n+m))$  führt. Da der Wert von  $c_0$  jedoch exponentiell in der Länge der Eingabe (also der Beschreibung des Netzwerkes N) sein kann, ergibt dies keine polynomiell beschränkte Laufzeit. Bei Netzwerken mit reellen Kapazitäten kann der Ford-Fulkerson-Algorithmus sogar unendlich lange laufen (siehe Übungen).

Bei nebenstehendem Netzwerk benötigt Ford-Fulkerson zur Bestimmung des Maximalflusses abhängig von der Wahl der Zunahmepfade zwischen 2 und 2<sup>11</sup> Schleifendurchläufe.



- Im günstigsten Fall wird nämlich ausgehend vom Nullfluss  $f_0$  zuerst der Zunahmepfad  $P_1 = (s, a, t)$  mit der Kapazität  $2^{10}$  und dann im Restnetzwerk  $N_{f_1}$  der Pfad  $P_2 = (s, b, t)$  mit der Kapazität  $2^{10}$  gewählt.
- Im ungünstigsten Fall werden abwechselnd die beiden Zunahmepfade  $P_1 = (s, a, b, t)$  und  $P_2 = (s, b, a, t)$  (also  $P_i = P_1$  für ungerades i und  $P_i = P_2$  für gerades i) mit der Kapazität 1 gewählt. Dies führt auf insgesamt  $2^{11}$  Schleifendurchläufe (siehe nebenstehende Tabelle).

Nicht nur in diesem Beispiel lässt sich die exponentielle Laufzeit wie folgt vermeiden:

- Man betrachtet nur Zunahmepfade mit einer geeignet gewählten Mindestkapazität. Dies führt auf eine Laufzeit, die polynomiell in n, m und  $\log c_0$  ist.
- Man bestimmt in jeder Iteration einen kürzesten Zunahmepfad im Restnetzwerk mittels Breitensuche in Zeit  $\mathcal{O}(n+m)$ . Diese Vorgehensweise führt auf den **Edmonds-Karp-Algorithmus**, der eine Laufzeit von  $\mathcal{O}(nm^2)$  hat (unabhängig von der Kapazitätsfunktion).
- Man bestimmt in jeder Iteration einen Fluss g im Restnetzwerk  $N_f$ , der nur Kanten benutzt, die auf einem kürzesten s-t-Pfad in  $N_f$  liegen. Zudem hat g die Eigenschaft, dass g auf jedem kürzesten

i	Fluss $f_{P_i}$ in $N_{f_i}$	neuer Fluss $f_{i+1}$ in $N$
1	$ \begin{array}{cccccccccccccccccccccccccccccccccccc$	$ \begin{array}{c ccccccccccccccccccccccccccccccccccc$
2	$ \begin{array}{cccccccccccccccccccccccccccccccccccc$	$ \begin{array}{c ccccccccccccccccccccccccccccccccccc$
i		
$     2j - 1, \\     1 < j \le 2^{10} $	$\begin{array}{c ccccccccccccccccccccccccccccccccccc$	$ \begin{array}{cccccccccccccccccccccccccccccccccccc$
$ \begin{array}{c c} 2j, \\ 1 < j < 2^{10} \end{array} $	$ \begin{array}{cccccccccccccccccccccccccccccccccccc$	$ \begin{array}{cccccccccccccccccccccccccccccccccccc$
:		
2 <sup>11</sup>	$ \begin{array}{cccccccccccccccccccccccccccccccccccc$	$\begin{array}{c ccccccccccccccccccccccccccccccccccc$

s-t-Pfad P mindestens eine Kante  $e \in P$  sättigt (d.h. der Fluss g(e) durch e schöpft die Restkapazität  $c_f(e)$  von e vollkommen aus), weshalb diese Kante in der nächsten Iteration fehlt. Dies führt auf den Algorithmus von Dinitz. Da die Länge der kürzesten s-t-Pfade im Restnetzwerk in jeder Iteration um mindestens eins zunimmt, liegt nach spätestens n-1 Iterationen ein maximaler Fluss vor. Dinitz hat gezeigt, dass der Fluss g in Zeit  $\mathcal{O}(nm)$  bestimmt werden kann. Folglich hat der Algorithmus von Dinitz eine Laufzeit von  $\mathcal{O}(n^2m)$ .

• Malhotra, Kumar und Maheswari fanden später einen  $\mathcal{O}(n^2)$ -Algorithmus zur Bestimmung von g. Damit kann die Gesamtlaufzeit auf  $\mathcal{O}(n^3)$  verbessert werden.

# 3.2 Der Edmonds-Karp-Algorithmus

Der Edmonds-Karp-Algorithmus ist eine spezielle Form von Ford-Fulkerson, die möglichst kurze Zunahmepfade benutzt. Diese können mittels Breitensuche bestimmt werden.

#### **Algorithmus** Edmonds-Karp(V, E, s, t, c)

```
for all (u,v) \in E \cup E^R do f(u,v) := 0 while P := \mathsf{zunahmepfad}(f) \neq \bot do \mathsf{addierepfad}(f,P)
```

# $\mathbf{Prozedur}$ zunahmepfad(f)

```
for all v \in V \setminus \{s\} do

parent(v) := \bot

parent(s) := s

Q := (s)

while Q \neq () \land \mathsf{parent}(t) = \bot do

u := \mathsf{dequeue}(Q)
```

```
for all e = (u, v) \in E \cup E^R do
          if c(e) - f(e) > 0 \land parent(v) = \bot then
            c'(e) := c(e) - f(e)
9
            parent(v) := u
10
            enqueue(Q, v)
11
     if parent(t) = \bot then
12
       P := \bot
     else
14
       P := \mathsf{parent}\text{-}\mathsf{Pfad} \ \mathsf{von} \ s \ \mathsf{nach} \ t
15
       c_f(P) := \min\{c'(e) \mid e \in P\}
    return P
```

#### Prozedur addierepfad(f, P)

```
for all e \in P do
f(e) := f(e) + c_f(P)
f(e^R) := f(e^R) - c_f(P)
```

Die Prozedur zunahmepfad (f) berechnet im Restnetzwerk  $N_f$  einen (gerichteten) s-t-Pfad P, sofern ein solcher existiert. Dies ist genau dann der Fall, wenn die while-Schleife mit  $parent(t) \neq \bot$  abbricht. Der gefundene Zunahmepfad  $P = (u_\ell, \ldots, u_0)$  lässt sich dann ausgehend von  $u_0 = t$  mittels parent zurückverfolgen:

$$u_i = \begin{cases} t, & i = 0, \\ \mathsf{parent}(u_{i-1}), & i > 0 \text{ und } u_{i-1} \neq s \end{cases}$$

wobei  $\ell = \min\{i \geq 1 \mid u_i = s\}$  ist. Dann ist  $u_{\ell} = s$  und P ein s-t-Pfad, den wir als den **parent-Pfad** von s nach t bezeichnen.

Satz 3.15. Der Edmonds-Karp-Algorithmus durchläuft die while-Schleife höchstens (nm/2)-mal und hat somit eine Laufzeit von  $O(nm^2)$ .

Beweis. Sei k die Anzahl der Schleifendurchläufe und seien  $P_1, \ldots, P_k$  die Zunahmepfade, die der Algorithmus bei Eingabe N berechnet,

d.h.  $f_{i+1} = f_i + f_{P_{i+1}}$ , wobei  $f_0$  der triviale Nullfluss und  $P_{i+1}$  der im Restnetzwerk  $N_{f_i}$  berechnete Zunahmepfad ist. Eine Kante e auf  $P_{i+1}$  heißt kritisch für  $P_{i+1}$ , falls der Fluss  $f_{P_{i+1}}$  durch  $P_{i+1}$  in  $N_{f_i}$  die Kante e sättigt, d.h.  $f_{P_{i+1}}(e) = c_{f_i}(e)$ . Eine kritische Kante e für  $P_{i+1}$  ist wegen

$$c_{f_{i+1}}(e) = c(e) - f_{i+1}(e) = c(e) - (f_i + f_{P_{i+1}}) = c_{f_i}(e) - f_{P_{i+1}}(e) = 0$$

nicht in  $N_{f_{i+1}}$  enthalten, wohl aber die Kante  $e^R$ , da  $c_{f_{i+1}}(e^R) = c(e^R) - f_{i+1}(e^R) = c(e^R) + f_{i+1}(e) = c(e^R) + c(e) > 0$  ist.

Sei  $d_i(u, v)$  die minimale Länge eines Pfades von u nach v im Restnetzwerk  $N_{f_i}$  und sei  $\ell_{i+1} = d_i(s, t)$  die Länge von  $P_{i+1}$ . Wir zeigen zuerst, dass die Abstände jedes Knotens  $u \in V$  von s und von t beim Übergang von  $N_{f_i}$  zu  $N_{f_{i+1}}$  höchstens zu- aber nicht abnehmen. Hierzu beweisen wir für jeden kürzesten Pfad  $P = (u_0, \ldots, u_\ell)$  von  $u_0 = s$  nach  $u_\ell = u$  in  $N_{f_{i+1}}$  (d.h.  $d_{i+1}(s, u) = \ell$ ) die Ungleichungen

$$d_i(s, u_h) \le d_i(s, u_{h-1}) + 1 \text{ für } h = 1, \dots, \ell,$$

die  $d_i(s,u) \leq \ell$  implizieren. Falls die Kante  $e = (u_{h-1},u_h)$  auch in  $N_{f_i}$  enthalten ist, ist nichts zu zeigen. Andernfalls muss  $f_{i+1}(e) \neq f_i(e)$  sein, d.h. e oder  $e^R$  müssen auf  $P_{i+1}$  liegen. Da e nicht in  $N_{f_i}$  ist, muss  $e^R = (u_h,u_{h-1})$  auf  $P_{i+1}$  liegen. Da  $P_{i+1}$  ein kürzester Pfad von s nach t in  $N_{f_i}$  ist, folgt  $d_i(s,u_{h-1}) = d_i(s,u_h) + 1$ , was  $d_i(s,u_h) = d_i(s,u_{h-1}) - 1 \leq d_i(s,u_{h-1}) + 1$  impliziert. Vollkommen analog lässt sich  $d_i(u,t) \leq d_{i+1}(u,t)$  zeigen, womit wir folgende Behauptung bewiesen haben.

Behauptung 3.16. Für jeden Knoten  $u \in V$  gilt  $d_i(s, u) \leq d_{i+1}(s, u)$  und  $d_i(u, t) \leq d_{i+1}(u, t)$ .

Daraus ergibt sich nun folgende Behauptung.

Behauptung 3.17. Falls e = (u, v) in  $P_{i+1}$  und  $e^R = (v, u)$  in  $P_{j+1}$  für  $0 \le i < j < k$  enthalten ist, so gilt  $\ell_{j+1} = d_j(s, t) \ge d_i(s, t) + 2 = \ell_{i+1} + 2$ .

Da  $P_{i+1}$  und  $P_{j+1}$  kürzeste s-t-Pfade in  $N_{f_i}$  bzw.  $N_{f_j}$  sind, folgt dies direkt aus obiger Behauptung:

$$d_{j}(s,t) = \underbrace{d_{j}(s,v)}_{\geq d_{i}(s,v)} + \underbrace{d_{j}(u,t)}_{\geq d_{i}(u,t)} + 1 \geq \underbrace{d_{i}(s,v)}_{d_{i}(s,u)+1} + \underbrace{d_{i}(u,t)}_{d_{i}(v,t)+1} + 1 = d_{i}(s,t) + 2.$$

Da jeder Zunahmepfad  $P_i$  mindestens eine kritische Kante enthält und  $E \cup E^R$  höchstens m Kantenpaare der Form  $\{e, e^R\}$  enthält, impliziert schließlich folgende Behauptung, dass  $k \leq mn/2$  ist.

Behauptung 3.18. Zwei Kanten e und  $e^R$  sind zusammen höchstens n/2-mal kritisch.

Seien  $P_{i_1}, \ldots, P_{i_h}$  mit  $1 \leq i_1 < \cdots < i_h \leq k$  die Pfade, für die eine der Kanten in  $\{e, e^R\}$  kritisch ist. Falls  $e' \in \{e, e^R\}$  kritisch für  $P_{i_j}$  mit  $1 \leq j < h$  ist, dann fehlt e' im Restnetzwerk  $N_{f_{i_j}}$ . Daher kann e' nur dann eine kritische Kante auf dem Pfad  $P_{i_{j+1}}$  sein, wenn  $e'^R$  auf einem Pfad  $P_i$  mit  $i_j < i \leq i_{j+1}$  liegt. Dies gilt natürlich erst recht, wenn die Kante  $e'^R$  auf  $P_{i_{j+1}}$  kritisch ist. Mit Behauptung 1 und Behauptung 2 folgt also  $\ell_{i_{j+1}} \geq \ell_i \geq \ell_{i_j} + 2$ . Daher ist

$$n-1 \ge \ell_{i_h} \ge \ell_{i_1} + 2(h-1) \ge 1 + 2(h-1) = 2h-1,$$

was  $h \le n/2$  impliziert.

Man beachte, dass der Beweis auch bei Netzwerken mit reellen Kapazitäten seine Gültigkeit behält.

## 3.3 Der Algorithmus von Dinitz

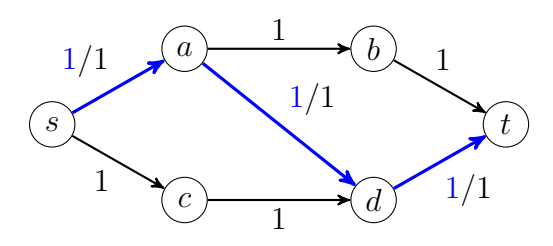
Man kann zeigen, dass sich in jedem Netzwerk ein maximaler Fluss durch Addition von höchstens m Zunahmepfaden konstruieren lässt (siehe Übungen). Es ist nicht bekannt, ob sich solche Pfade in Zeit O(m) bestimmen lassen. Wenn ja, würde dies auf eine Gesamtlaufzeit von  $O(m^2)$  führen. Für dichte Netzwerke (d.h.  $m = \Theta(n^2)$ ) hat der

Algorithmus von Dinitz die gleiche Laufzeit  $O(n^2m) = O(n^4)$  und die verbesserte Version ist mit  $O(n^3)$  in diesem Fall sogar noch schneller. Die Analyse der Laufzeit des Edmonds-Karp-Algorithmus beruht auf der Tatsache, dass der Fluss  $f_{P_{i+1}}$  durch den Zunahmepfad  $P_{i+1}$ , der in jedem Schleifendurchlauf auf den aktuellen Fluss  $f_i$  addiert wird, eine Kante auf mindestens einem kürzesten Pfad im Restnetzwerk  $N_{f_i}$  sättigt. Dies hat zur Folge, dass nicht mehr als nm/2 Zunahmepfade  $P_i$  benötigt werden, um einen maximalen Fluss zu erhalten.

Dagegen addiert der Algorithmus von Dinitz in jedem Schleifendurchlauf auf den aktuellen Fluss f einen Fluss g, der auf jedem kürzesten Pfad im Restnetzwerk  $N_f$  mindestens eine Kante sättigt. Wir werden sehen, dass maximal n-1 solche Flüsse  $g_i$  benötigt werden.

**Definition 3.19.** Ein Fluss g in einem Netzwerk N = (V, E, s, t, c) sättigt eine Kante  $e \in E$ , falls g(e) = c(e) ist. g heißt blockierend, falls g mindestens eine Kante auf jedem Pfad P von s nach t sättigt.

Nach dem Max-Flow-Min-Cut-Theorem gibt es zu jedem maximalen Fluss f einen s-t-Schnitt S, so dass alle Kanten in E(S) gesättigt sind. Da jeder Pfad von s nach t mindestens eine Kante in E(S) enthalten muss, ist jeder maximale Fluss auch blockierend. Für die Umkehrung gibt es jedoch einfache Gegenbeispiele, wie etwa



Ein blockierender Fluss muss also nicht unbedingt maximal sein. Tatsächlich ist g genau dann ein blockierender Fluss in N, wenn es im Restnetzwerk  $N_g$  keinen Zunahmepfad gibt, der nur aus Vorwärtskanten  $e \in E$  mit g(e) < c(e) besteht.

Der Algorithmus von Dinitz berechnet anstelle eines kürzesten Zunahmepfades P im aktuellen Restnetzwerk  $N_f$  einen blockierenden Fluss g im Schichtnetzwerk  $N_f'$ . Dieses enthält nur diejenigen Kanten von  $N_f$ , die auf einem kürzesten Pfad mit Startknoten s liegen. Zudem werden aus  $N_f'$  alle Knoten  $u \neq t$  entfernt, die einen Abstand  $d(s,u) \geq d(s,t)$  in  $N_f$  haben. Der Name rührt daher, dass jeder Knoten in  $N_f'$  einer Schicht  $S_i$  zugeordnet wird.

**Definition 3.20.** Sei N = (V, E, s, t, c) ein Netzwerk und bezeichne d(x, y) die Länge eines kürzesten Pfades von x nach y in N. Das zugeordnete **Schichtnetzwerk** ist N' = (V', E', s, t, c') mit der Knotenmenge  $V' = S_0 \cup \cdots \cup S_\ell$  und der Kantenmenge

$$E' = \bigcup_{j=1}^{\ell} \{ (u, v) \in E \mid u \in S_{j-1} \land v \in S_j \}$$

sowie der Kapazitätsfunktion

$$c'(e) = \begin{cases} c(e), & e \in E', \\ 0, & sonst, \end{cases}$$

wobei  $\ell = 1 + \max\{d(s, u) < d(s, t) \mid u \in V\}$  und

$$S_{j} = \begin{cases} \{u \in V \mid d(s, u) = j\}, & 0 \le j \le \ell - 1, \\ \{t\}, & j = \ell \end{cases}$$

ist.

Der Algorithmus von Dinitz arbeitet wie folgt.

Algorithmus Dinitz(N), N = (V, E, s, t, c)

- for all  $(u,v) \in E \cup E^R$  do
- $_{2} \qquad f(u,v) := 0$
- while  $S:= \mathsf{schichtnetzwerk}(N,f) \neq \bot \ \mathbf{do}$
- f := f + blockfluss(S)

Das zum Restnetzwerk  $N_f = (V, E_f, s, t, c_f)$  gehörige Schichtnetzwerk  $S = N_f' = (V', E_f', s, t, c_f')$  wird von der Prozedur schichtnetzwerk(N, f) in Zeit O(n + m) berechnet. Für die Berechnung eines blockierenden Flusses g in einem Schichtnetzwerk S werden wir zwei Algorithmen angeben: Eine Prozedur blockfluss1, deren Laufzeit durch O(nm) und eine Prozedur blockfluss2, deren Laufzeit durch  $O(n^2)$  beschränkt ist.

Wir beschreiben zuerst die Prozedur schichtnetzwerk. Diese Prozedur führt in  $N_f$  eine modifizierte Breitensuche mit Startknoten s durch und speichert dabei in der Menge E' nicht nur alle Baumkanten, sondern zusätzlich alle Querkanten (u,v) (d.h. u und v liegen nicht auf einem gemeinsamen parent-Pfad), die auf einem kürzesten Weg von s zu v liegen. Die Suche bricht ab, sobald t am Kopf der Schlange erscheint oder alle von s aus erreichbaren Knoten abgearbeitet sind.

Falls t erreicht wurde, werden außer der Senke t alle Knoten u, die in  $N_f$  einen Abstand d(s,u) < d(s,t) von der Quelle s haben, in der Menge V' zusammengefasst. Zudem werden alle Kanten aus E' wieder entfernt, die nicht zwischen zwei Knoten aus V' verlaufen.

Wurde dagegen t nicht erreicht, so existiert in  $N_f$  (und damit in  $N'_f$ ) kein (blockierender) Fluss g mit |g| > 0 und somit auch kein Zunahmepfad in  $N_f$ , d.h. f ist maximal.

## $\mathbf{Prozedur}$ schichtnetzwerk(N, f)

```
\begin{array}{lll} & \operatorname{niv}(v) := \operatorname{niv}(u) + 1 \\ & \operatorname{enqueue}(Q,v) \\ & \operatorname{if} \ \operatorname{head}(Q) = t \ \operatorname{then} \\ & V' := \{v \in V \mid \operatorname{niv}(v) < \operatorname{niv}(t)\} \cup \{t\} \\ & E' := E' \cap (V' \times V') \\ & \operatorname{return} \ (V', E', s, t, c') \\ & \operatorname{else} \ \operatorname{return} \ \bot \end{array}
```

Die Laufzeitschranke O(n+m) für die Prozedur schichtnetzwerk folgt aus der Tatsache, dass jede Kante in  $E \cup E^R$  höchstens einmal besucht wird und jeder Besuch mit einem konstanten Zeitaufwand verbunden ist.

Nun kommen wir zur Beschreibung der Prozedur **blockfluss1**, die einen blockierenden Fluss g in einem gegebenen Schichtnetzwerk S=(V,E,s,t,c) berechnet. Beginnend mit dem Nullfluss g bestimmt diese in der repeat-Schleife mittels Tiefensuche

- einen s-t-Pfad P in S,
- $\bullet$  addiert den Fluss  $f_P$  durch P in S zum aktuellen Fluss g hinzu,
- $\bullet$ aktualisiert die Kapazitäten aller Kanten auf dem PfadPund
- ullet entfernt aus S die von g gesättigten Kanten.

Der Pfad P lässt sich hierbei direkt aus dem Inhalt des Kellers K rekonstruieren, weshalb er K-Pfad genannt wird. Man beachte, dass die Kapazitäten der auf dem gefundenen Pfad P liegenden Kanten nur in Vorwärtsrichtung, aber anders als bei Ford-Fulkerson und Edmonds-Karp nicht auch in Rückwärtsrichtung angepasst werden.

Falls die Tiefensuche in einem Knoten  $u \neq s$  in einer Sackgasse endet (weil E keine von u aus weiterführenden Kanten enthält), wird die zuletzt besuchte Kante (u', u) ebenfalls aus E entfernt und die Tiefensuche vom Startpunkt u' dieser Kante fortgesetzt (backtracking). Die Prozedur **blockfluss1** bricht ab, sobald alle Kanten mit Startknoten s aus E entfernt wurden und somit in (V, E) keine Pfade mehr von s nach t existieren (d.h. g ist ein blockierender Fluss in S).

#### **Prozedur** blockfluss1(S), S = (V, E, s, t, c)

```
for all e \in E \cup E^R do q(e) := 0
    u := s
    K := (s)
    done := false
    repeat
       if \exists e = (u, v) \in E then
         push(K, v)
7
         u := v
8
       elsif u = t then
         P := K-Pfad von s nach t
10
         c(P) := \min\{c(e) \mid e \in P\}
11
         for all e \in P do
12
           q(e) := q(e) + c(P)
13
           q(e^R) := -q(e)
14
           c(e) := c(e) - c(P)
15
           if c(e) = 0 then E := E \setminus \{e\}
16
         K := (s)
17
         u := s
18
       elsif u \neq s then \\ backtracking
19
         pop(K)
20
        u' := \mathsf{top}(K)
21
        E := E \setminus \{(u', u)\}
22
         u := u'
23
      else done := true
24
    until done
25
    return q
```

Die Laufzeitschranke O(nm) folgt aus der Tatsache, dass sich die Anzahl der aus E entfernten Kanten nach spätestens n Schleifendurchläufen um 1 erhöht.

**Satz 3.21.** Der Algorithmus von Dinitz durchläuft die while-Schleife höchstens (n-1)-mal.

Beweis. Sei  $f_0$  der Nullfluss in N und seien  $g_1, \ldots, g_k$  die blockierenden Flüsse, die der Dinitz-Algorithmus der Reihe nach berechnet, d.h.  $f_{i+1} = f_i + g_{i+1}$ . Zudem sei  $d_i(u,v)$  die minimale Länge eines Pfades von u nach v im Restnetzwerk  $N_{f_i}$  und sei  $\delta_i = d_i(s,t)$ . Wir zeigen, dass  $\delta_i < \delta_{i+1}$  für  $i=1,\ldots,k-1$  gilt. Da  $\delta_1 \geq 1$  und  $\delta_k \leq n-1$  ist, folgt  $k \leq n-1$ .

Hierzu beweisen wir zunächst, dass für jeden kürzesten Pfad  $P = (u_0, \ldots, u_l)$  von  $u_0 = s$  nach  $u_l = u$  in  $N_{f_{i+1}}$  (d.h.  $d_{i+1}(s, u_h) = h$ ) für  $h = 1, \ldots, l$  folgende (Un)gleichungen gelten:

$$d_i(s, u_h) \le d_i(s, u_{h-1}) + 1$$
, falls  $(u_{h-1}, u_h) \in E_{f_i}$  (3.1)

$$d_i(s, u_h) = d_i(s, u_{h-1}) - 1$$
, falls  $(u_{h-1}, u_h) \notin E_{f_i}$  (3.2)

Es ist klar, dass (3.1) gilt, falls die Kante  $e = (u_{h-1}, u_h)$  auch in  $N_{f_i}$  enthalten ist. Andernfalls ist  $f_{i+1}(e) \neq f_i(e)$ , d.h.  $g_{i+1}(e) \neq 0$ . Da e nicht in  $N_{f_i}$  und somit auch nicht in  $N'_{f_i}$  enthalten ist, muss  $e^R = (u_h, u_{h-1})$  in  $N'_{f_i}$  sein. Da  $N'_{f_i}$  nur Kanten auf kürzesten Pfaden mit Startknoten s enthält, folgt  $d_i(s, u_{h-1}) = d_i(s, u_h) + 1$ , was (3.2) impliziert. Aus (3.1 + 3.2) folgt

$$d_i(s, u_l) \le d_i(s, u_{l-1}) + 1 \le \dots \le d_i(s, s) + l = l = d_{i+1}(s, u_l)$$

und wir haben für jeden Knoten  $u \in V$  folgende Ungleichung bewiesen:

$$d_i(s, u) \le d_{i+1}(s, u).$$
 (3.3)

Um nun zu zeigen, dass  $\delta_i < \delta_{i+1}$  für i = 1, ..., k-1 gilt, sei  $P = (u_0, u_1, ..., u_{\delta_{i+1}})$  ein kürzester Pfad von  $s = u_0$  nach  $t = u_{\delta_{i+1}}$  in  $N_{f_{i+1}}$  (und somit auch in  $N'_{f_{i+1}}$ ). Mit Ungleichung 3.3 folgt, dass  $d_i(s, u_h) \leq d_{i+1}(s, u_h) = h$  für  $h = 0, ..., \delta_{i+1}$  ist. Wir unterscheiden zwei Fälle.

• Wenn alle Knoten  $u_h$  in  $N'_{f_i}$  enthalten sind, muss ein h mit  $d_i(s, u_h) \leq d_i(s, u_{h-1})$  existieren. Würde nämlich  $d_i(s, u_h) > d_i(s, u_{h-1})$  für  $h = 1, \ldots, \delta_{i+1} - 1$  gelten, so wären die Kanten  $(u_{h-1}, u_h)$  für  $h = 1, \ldots, \delta_{i+1} - 1$  wegen (3.2) in  $N_{f_i}$  enthalten und somit würde wegen (3.1)  $d_i(s, u_h) = d_i(s, u_{h-1}) + 1$  für

 $h = 1, ..., \delta_{i+1} - 1$  folgen. Dies hätte wiederum zur Folge, dass P ein kürzester Pfad von s nach t in  $N_{f_i}$  und somit ein s-t-Pfad in  $N'_{f_i}$  wäre, der von  $g_i$  nicht blockiert wird, da er auch in  $N_{f_{i+1}}$  existiert. Da aber  $g_i$  blockierend ist, muss also ein h mit  $d_i(s, u_h) \leq d_i(s, u_{h-1})$  existieren und es folgt unter Verwendung von (3.1 + 3.2):

$$\delta_i = d_i(s, t) \le d_i(s, u_h) + \underbrace{d_i(u_h, t)}_{\le \delta_{i+1} - h} \le \underbrace{d_i(s, u_{h-1})}_{\le d_{i+1}(s, u_{h-1}) = h - 1} + \delta_{i+1} - h < \delta_{i+1}$$

• Falls mindestens ein Knoten  $u_h$  nicht in  $N'_{f_i}$  enthalten ist, sei  $u_h$  der erste solche Knoten auf P. Da  $u_h \neq t$  ist, folgt  $d_{i+1}(s, u_h) < d_{i+1}(s,t) = \delta_{i+1}$ . Zudem liegt die Kante  $e = (u_{h-1}, u_h)$  nicht nur in  $N_{f_{i+1}}$ , sondern wegen  $f_{i+1}(e) = f_i(e)$  (da weder e noch  $e^R$  zu  $N'_{f_i}$  gehören) auch in  $N_{f_i}$ . Da somit  $u_{h-1}$  in  $N'_{f_i}$  und e in  $N_{f_i}$  ist, kann  $u_h$  nur aus dem Grund nicht zu  $N'_{f_i}$  gehören, dass  $d_i(s, u_h) = d_i(s, t)$  ist. Daher folgt unter Verwendung von (3.1 + 3.2 + 3.3) auch in diesem Fall die Ungleichung  $\delta_i < \delta_{i+1}$ :

$$\delta_i = d_i(s, t) = d_i(s, u_h) \le \underbrace{d_i(s, u_{h-1})}_{\le d_{i+1}(s, u_{h-1})} + 1 \le d_{i+1}(s, u_h) < \delta_{i+1}$$

**Korollar 3.22.** Der Algorithmus von Dinitz berechnet bei Verwendung der Prozedur blockfluss1 einen maximalen Fluss in Zeit  $O(n^2m)$ .

Die Prozedur **blockfluss2** benötigt nur Zeit  $O(n^2)$ , um einen blockierenden Fluss g im Schichtnetzwerk  $N_f'$  zu berechnen, was auf eine Gesamtlaufzeit des Algorithmus von Dinitz von  $O(n^3)$  führt. Zu ihrer Beschreibung benötigen wir folgende Notation.

**Definition 3.23.** Sei N = (V, E, s, t, c) ein Netzwerk.

a) Der **Durchsatz eines Knotens u** in V ist

$$D(u) = \begin{cases} c^{+}(u), & u = s, \\ c^{-}(u), & u = t, \\ \min\{c^{+}(u), c^{-}(u)\}, & sonst, \end{cases}$$

wobei  $c^+(u) = \sum_{v \in V} c(u, v)$  die **Ausgangskapazität** und  $c^-(u) = \sum_{v \in V} c(v, u)$  die **Eingangskapazität von u** ist.

- b) Ein Fluss g in N sättigt einen Knoten u in V, falls
  - u = s ist und g alle Kanten  $(s, v) \in E$  mit Startknoten s sättigt, oder
  - u = t ist und g alle Kanten  $(v, t) \in E$  mit Zielknoten t sättigt, oder
  - $u \in V \{s, t\}$  ist und g alle Kanten  $(u, v) \in E$  mit Startknoten u oder alle Kanten  $(v, u) \in E$  mit Zielknoten u sättigt.

Die Korrektheit der Prozedur blockfluss2 basiert auf folgender Proposition.

**Proposition 3.24.** Wenn ein Fluss g in einem Netzwerk N auf jedem s-t-Pfad P mindestens einen Knoten u sättigt, dann ist g blockierend.

Beweis. Falls g mindestens einen Knoten u auf dem s-t-Pfad P sättigt, dann sättigt g auch mindestens eine Kante auf dem Pfad P.

Beginnend mit dem trivialen Fluss g=0 berechnet die Prozedur blockfluss2 für jeden Knoten u den Durchsatz D(u) im Schichtnetzwerk S=(V,E,s,t,c) und wählt in jedem Durchlauf der repeat-Schleife einen Knoten u mit minimalem Durchsatz D(u). Dann benutzt sie die Prozeduren propagierevor und propagiererück, um den aktuellen Fluss g um den Wert D(u) zu erhöhen und die Restkapazitäten der betroffenen Kanten sowie die Durchsatzwerte D(v) der betroffenen Knoten entsprechend zu aktualisieren.

Anschließend werden alle gesättigten Knoten aus V und alle gesättigten Kanten aus E entfernt. Hierzu werden in der Menge B alle Knoten gespeichert, deren Durchsatz durch die Erhöhungen des Flusses g auf 0 gesunken ist.

#### **Prozedur** blockfluss2(S), S = (V, E, s, t, c)

```
for all e \in E \cup E^R do q(e) := 0
    for all u \in V do
       c^{+}(u) := \sum_{(u,v) \in E} c(u,v)
       c^{-}(u) := \sum_{(v,u) \in E} c(v,u)
    repeat
       for all u \in V \setminus \{s, t\} do D(u) := \min\{c^{-}(u), c^{+}(u)\}
       D(s) := c^{+}(s)
7
       D(t) := c^{-}(t)
8
       wähle u \in V mit D(u) minimal
       B := \{u\}
10
       propagierevor(u)
11
       propagiererück(u)
12
       while \exists v \in B \setminus \{s, t\} do
13
         B := B \setminus \{v\}; V := V \setminus \{v\}
14
         for all e = (v, w) \in E do
15
            c^{-}(w) := c^{-}(w) - c(v, w)
16
            if c^{-}(w) = 0 then B := B \cup \{w\}
17
            E := E \setminus \{e\}
18
          for all e = (w, v) \in E do
19
            c^+(w) := c^+(w) - c(w, v)
20
            if c^+(w) = 0 then B := B \cup \{w\}
21
            E := E \setminus \{e\}
22
    until u \in \{s, t\}
    return q
24
```

Da in jedem Durchlauf der repeat-Schleife mindestens ein Knoten u gesättigt und aus V entfernt wird, wird nach höchstens n-1 Iterationen einer der beiden Knoten s oder t als Knoten u mit minimalem Durchsatz D(u) gewählt und die repeat-Schleife verlassen. Da nach Beendigung des letzten Durchlaufs der Durchsatz von s oder von t gleich 0 ist, wird einer dieser beiden Knoten zu diesem Zeitpunkt von g gesättigt. Nach Proposition 3.24 ist somit g ein blockierender Fluss.

Die Prozeduren propagierevor und propagiererück propagieren den Fluss durch u in Vorwärtsrichtung hin zu t bzw. in Rückwärtsrichtung hin zu s. Dies geschieht in Form einer Breitensuche mit Startknoten u unter Benutzung der Kanten in E bzw.  $E^R$ . Da der Durchsatz D(u) von u unter allen Knoten minimal ist, ist sichergestellt, dass der Durchsatz D(v) jedes Knotens v ausreicht, um den für ihn ermittelten Zusatzfluss in Höhe von z(v) weiterzuleiten.

#### **Prozedur** propagierevor(u)

```
for all v \in V do z(v) := 0

z(u) := D(u)

Q := (u); R := \{u\}

while Q \neq () do

while z(v) \neq 0 \land \exists e = (v, w) \in E do

if w \notin R then enqueue(Q, w)

R := R \cup \{w\}

m := \min\{z(v), c(e)\}; z(v) := z(v) - m; z(w) := z(w) + m

aktualisierekante(e, m)
```

# **Prozedur** aktualisierekante(e, m), e = (v, w)

```
1 g(e) := g(e) + m

2 c(e) := c(e) - m

3 if c(e) = 0 then E := E \setminus \{e\}

4 c^+(v) := c^+(v) - m

5 if c^+(v) = 0 then B := B \cup \{v\}

6 c^-(w) := c^-(w) - m

7 if c^-(w) = 0 then B := B \cup \{w\}
```

Die Prozedur propagiererück unterscheidet sich von der Prozedur propagierevor nur dadurch, dass in Zeile 6 die Bedingung  $\exists e = (v, w) \in E$  durch die Bedingung  $\exists e = (w, v) \in E$  ersetzt wird. Da die repeat-Schleife von blockfluss2 maximal (n-1)-mal durch-

laufen wird, werden die Prozeduren propagierevor und propagiererück höchstens (n-1)-mal aufgerufen. Sei a die Gesamtzahl der Durchläufe der inneren while-Schleife von propagierevor, summiert über alle Aufrufe. Da in jedem Durchlauf eine Kante aus E entfernt wird (falls m=c(v,u) ist) oder der zu propagierende Fluss z(v) durch einen Knoten v auf 0 sinkt (falls m=z(v) ist), was pro Knoten und pro Aufruf höchstens einmal vorkommt, ist  $a \leq n^2 + m$ . Der gesamte Zeitaufwand ist daher  $O(n^2+m)$  innerhalb der beiden while-Schleifen und  $O(n^2)$  außerhalb. Die gleichen Schranken gelten für propagiererück.

Eine ähnliche Überlegung zeigt, dass die while-Schleife von blockfluss2 einen Gesamtaufwand von O(n+m) hat. Folglich ist die Laufzeit von blockfluss2  $O(n^2)$ .

**Korollar 3.25.** Der Algorithmus von Dinitz berechnet bei Verwendung der Prozedur blockfluss2 einen maximalen Fluss in Zeit  $O(n^3)$ .

Auf Netzwerken, deren Flüsse durch jede Kante oder durch jeden Knoten durch eine relativ kleine Zahl C beschränkt sind, lassen sich noch bessere Laufzeitschranken für den Dinitz-Algorithmus nachweisen. Hierzu benötigen wir folgende Beziehungen zwischen einem Netzwerk und den zugehörigen Restnetzwerken.

**Lemma 3.26.** Sei N = (V, E, s, t, c) ein Netzwerk, f ein Fluss in N und  $N_f$  das zugehörige Restnetzwerk. Zudem sei  $h: V \times V \to \mathbb{Z}$ .

- (i) Die Funktion h ist genau dann ein Fluss (bzw. maximaler Fluss) in  $N_f$ , wenn f + h ein Fluss (bzw. maximaler Fluss) in N ist.
- (ii) Für jede Kante  $e \in E \cup E^R$  gilt  $c_f(e) + c_f(e^R) = c(e) + c(e^R)$ .
- (iii) Für jeden Knoten  $u \in V \setminus \{s,t\}$  gilt  $c_f^+(u) = c^+(u)$  und  $c_f^-(u) = c^-(u)$  und somit  $D_f(u) = D(u)$ .

Beweis.

(i) Da f die Antisymmetrie und die Kontinuität erfüllt, übertragen sich diese Eigenschaften von h auf f + h und umgekehrt. Weiter

gilt

$$h(u,v) \le \underbrace{c_f(u,v)}_{c(u,v)-f(u,v)} \Leftrightarrow f(u,v) + h(u,v) \le c(u,v),$$

d.h. h erfüllt genau dann die Kapazitätsbedingung in  $N_f$ , wenn f+h sie in N erfüllt. Zudem ist f+h genau dann ein maximaler Fluss in N, wenn h ein maximaler Fluss in  $N_f$  ist, da jeder Fluss h' in  $N_f$  mit |h'| > |h| einen Fluss f+h' der Größe |f+h'| > |f+h| in N und jeder Fluss g in N mit |g| > |f+h| einen Fluss g-f der Größe |g-f| = |g|-|f| > |f+h|-|f| = |h| in  $N_f$  liefern würde.

- (ii) Es gilt  $\underbrace{c_f(e)}_{c(e)-f(e)} + \underbrace{c_f(e^R)}_{c(e^R)-f(e^R)} = c(e) + c(e^R) \underbrace{(\underbrace{f(e) + f(e^R)}_{=0})}_{=0}$ .
- (iii) Für jeden Knoten  $u \in V \setminus \{s, t\}$  gilt

$$c_f^+(u) = \sum_{v \in V} \underbrace{c_f(u, v)}_{c(u, v) - f(u, v)} = \underbrace{\sum_{v \in V} c(u, v)}_{c^+(u)} - \underbrace{\sum_{v \in V} f(u, v)}_{=0}.$$

Die Gleichheit  $c_f^-(u) = c^-(u)$  folgt analog.

**Lemma 3.27.** Sei F > 0 die maximale Flussgröße in einem Netzwerk N und sei  $\ell$  die Länge des zu N gehörigen Schichtnetzwerks N'.

- (i) Falls jeder Knoten  $u \in V \setminus \{s, t\}$  einen Durchsatz  $D(u) \leq C$  in N hat, gilt  $\ell \leq 1 + (n-2)C/F$ .
- (ii) Falls jede Kante  $e \in E$  eine Kapazität  $c(e) \leq C$  hat, gilt  $\ell \leq \min\{mC/F, 2n\sqrt{C/F}\}.$

Beweis. Sei f ein Fluss der Größe F in N.

(i) Da f für  $j = 1, ..., \ell - 1$  durch die  $n_j$  Knoten der Schicht  $S_j$  von N' fließt, von denen jeder einen Durchsatz  $\leq C$  hat, muss

$$F \leq n_j C$$
 bzw.  $F/C \leq n_j$ 

sein, woraus  $n-2 \geq \sum_{j=1}^{\ell-1} n_j \geq (\ell-1)F/C$  bzw.  $\ell \leq 1 + (n-2)C/F$  folgt.

(ii) Für  $j=1,\ldots,\ell-1$  sei  $E_j$  die Menge der Kanten von Schicht  $S_{j-1}$  nach Schicht  $S_j$  und sei  $E_\ell$  die Menge der Kanten von  $S_{\ell-1}$  nach  $S_\ell:=V-\bigcup_{j=0}^{\ell-1}S_j$  in N. Da der Fluss f für  $j=1,\ldots,\ell$  durch die  $m_j$  Kanten in  $E_j$  fließt, die alle eine Kapazität  $\leq C$  haben, muss

$$F \le m_j C \le C|S_{j-1}||S_j|$$
 bzw.  $F/C \le m_j \le |S_{j-1}||S_j|$ 

sein, woraus sofort  $m \geq \sum_{j=1}^{\ell} m_j \geq \ell F/C$  bzw.  $\ell \leq mC/F$  folgt. Wegen  $F/C \leq |S_{j-1}||S_j|$  muss zudem  $S_{j-1}$  oder  $S_j$  mindestens  $\sqrt{F/C}$  Knoten enthalten und es folgt

$$(\ell/2)\sqrt{F/C} \le |S_0| + \dots + |S_\ell| = n \text{ bzw. } \ell \le 2n\sqrt{C/F}$$

**Satz 3.28.** Sei k die Anzahl der Schleifendurchläufe des Algorithmus von Dinitz bei Eingabe eines Netzwerks N = (V, E, s, t, c).

- (i) Falls jeder Knoten  $u \in V \setminus \{s,t\}$  einen Durchsatz  $D(u) \leq C$  hat, so gilt  $k \leq 1 + 2\sqrt{nC}$ .
- (ii) Falls jede Kante  $e \in E$  eine Kapazität  $c(e) \leq C$  hat, so gilt  $k \leq \min\{\sqrt{8mC}, 4(n^2C)^{1/3}\}.$

Beweis. Sei F = |f| die Größe eines maximalen Flusses f in N und seien  $g_1, \ldots, g_k$  die blockierenden Flüsse, die der Dinitz-Algorithmus der Reihe nach im Schichtnetzwerk  $N'_{f_i}$  berechnet, d.h.  $f_1$  ist der Nullfluss in N und  $f_{i+1} = f_i + g_i$ .

(i) Da die Anzahl k der Schleifendurchläufe durch F beschränkt ist, können wir  $F > \sqrt{nC}$  annehmen. Betrachte den i-ten Schleifendurchlauf. Da  $f - f_i$  nach Lemma 3.26(i) ein maximaler Fluss in  $N_{f_i}$  der Größe  $R_i = F - |f_i|$  ist und nach Lemma 3.26(iii) jeder Knoten  $u \in V \setminus \{s,t\}$  in  $N_{f_i}$  den gleichen Durchsatz

wie in N hat, folgt nach Lemma 3.27(i), dass  $N'_{f_i}$  eine Länge  $\ell_i \leq 1 + nC/R_i$  hat. Wegen  $\ell_i \geq i + 1$  folgt daher

$$k \le i + 1 + R_{i+1} \le \ell_i + R_{i+1} \le R_{i+1} + 1 + nC/R_i$$
.

Nun wählen wir i so, dass  $R_i > \sqrt{nC}$  und  $R_{i+1} \leq \sqrt{nC}$  ist. Dann folgt

$$k-1 \le R_{i+1} + nC/R_i < \sqrt{nC} + nC/\sqrt{nC} = 2\sqrt{nC}.$$

(ii) Zum Nachweis von  $k \leq \sqrt{8mC}$  können wir  $F > \sqrt{2mC}$  annehmen. Wir betrachten wieder den i-ten Schleifendurchlauf. Da jede Kante  $e \in E_{f_i}$  nach Lemma 3.26(ii) eine Kapazität  $c_{f_i}(e) \leq 2C$  hat und  $f - f_i$  nach Lemma 3.26(i) ein maximaler Fluss in  $N_{f_i}$  ist und die Größe  $R_i = F - |f_i|$  hat, folgt nach Lemma 3.27(ii), dass  $N'_{f_i}$  eine Länge  $\ell_i \leq 2mC/R_i$  hat. Wegen  $\ell_i \geq i+1$  folgt daher

$$k \le i + 1 + R_{i+1} \le \ell_i + R_{i+1} \le R_{i+1} + 2mC/R_i$$
.

Wählen wir nun *i* so, dass  $R_i > \sqrt{2mC}$  und  $R_{i+1} \leq \sqrt{2mC}$  ist, so erhalten wir

$$k \le \sqrt{2mC} + \sqrt{2mC} = \sqrt{8mC}.$$

Zum Nachweis von  $k \leq 4(n^2C)^{1/3}$  können wir  $F > (2n\sqrt{2C})^{2/3} = 2(n^2C)^{1/3}$  annehmen. Zudem folgt nach Lemma 3.27(ii), dass  $N'_{f_i}$  eine Länge  $\ell_i \leq 2n\sqrt{2C/R_i}$  hat. Damit ist k für jedes  $i = 0, \ldots, k-1$  durch

$$k \le i + 1 + R_{i+1} \le \ell_i + R_{i+1} \le R_{i+1} + 2n\sqrt{2C/R_i}$$

beschränkt. Wählen wir nun i so, dass  $R_i > (2n\sqrt{2C})^{2/3}$  und  $R_{i+1} \leq (2n\sqrt{2C})^{2/3}$  ist, so erhalten wir

$$k \le (2n\sqrt{2C})^{2/3} + 2n\sqrt{2C}/(2n\sqrt{2C})^{1/3} = 4(n^2C)^{1/3}$$

**Korollar 3.29.** Sei T die Laufzeit des Algorithmus von Dinitz unter Verwendung von blockfluss1 bei Eingabe von N = (V, E, s, t, c).

- (i) Falls jeder Knoten  $u \in V \setminus \{s,t\}$  einen Durchsatz  $D(u) \leq C$  hat, so gilt  $T = O((nC + m)\sqrt{nC}$ .
- (ii) Falls jede Kante  $e \in E$  eine Kapazität  $c(e) \leq C$  hat, so gilt  $T = O(\min\{(mC)^{3/2}, C^{4/3}n^{2/3}m\}).$

Beweis. Nach obigem Satz ist die Anzahl k der Schleifendurchläufe des Algorithmus von Dinitz im Fall (i) durch  $k \leq 1 + 2\sqrt{nC}$  und im Fall (ii) durch  $k \leq \min\{\sqrt{8mC}, 4(n^2C)^{1/3}\}$  beschränkt. Zudem folgt mit Lemma 3.26 dass jede Kante e und jeder Knoten u (außer s und t) in jedem Restnetzwerk  $N_{f_i}$  (und somit auch in jedem Schichtnetzwerk  $N'_{f_i}$ ) eine Kapazität  $c(e) \leq 2C$  bzw. einen Durchsatz  $D(u) \leq C$  haben.

- (i) Jedesmal wenn **blockfluss1** einen s-t-Pfad P im aktuellen Schichtnetzwerk findet, verringert sich der Durchsatz c(u) der auf P liegenden Knoten u um den Wert  $c(P) \geq 1$ , da der Fluss g durch diese Knoten um diesen Wert steigt. Daher kann jeder Knoten an maximal C Flusserhöhungen beteiligt sein, bevor sein Durchsatz auf 0 sinkt. Da somit pro Knoten ein Zeitaufwand von O(C) für alle erfolgreichen Tiefensuchschritte, die zu einem s-t-Pfad führen, und zusätzlich pro Kante ein Zeitaufwand von O(1) für alle nicht erfolgreichen Tiefensuchschritte anfällt, läuft **blockfluss1** in Zeit O(nC+m).
- (ii) Jedesmal wenn **blockfluss1** einen s-t-Pfad P im Schichtnetzwerk findet, verringert sich die Kapazität c(e) der auf P liegenden Kanten e um den Wert  $c(P) \geq 1$ . Da somit pro Kante ein Zeitaufwand von O(C) für alle erfolgreichen Tiefensuchschritte und O(1) für alle nicht erfolgreichen Tiefensuchschritte anfällt, läuft **blockfluss1** in Zeit O(mC+m) = O(mC).

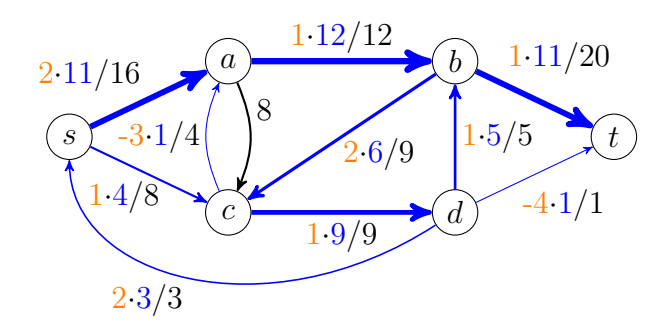
# 3.4 Kostenoptimale Flüsse

In bestimmten Anwendungen fallen für die Benutzung jeder Kante Kosten an, deren Höhe proportional zum Fluss durch die Kante ist. Falls zwei Flüsse f und g die einzelnen Kanten eines Netzwerks unterschiedlich beanspruchen, ist es möglich, dass f und g unterschiedliche Kosten verursachen, obwohl sie die gleiche Größe |f| = |g| haben. Gesucht ist dann ein maximaler Fluss f mit minimalen Kosten, wobei die Kosten von f in N wie folgt auf der Basis einer Kostenfunktion k bestimmt werden:

- Jede Kante  $e \in E$  mit  $f(e) \ge 0$  verursacht Kosten in Höhe von f(e)k(e).
- Die **Gesamtkosten von f** in N = (V, E, s, t, c, k) betragen daher

$$k(f) = \sum_{f(e)>0} f(e)k(e).$$

**Beispiel 3.30.** Die Abbildung zeigt einen Fluss f in N, wobei alle Kanten  $e \in E$  mit f(e) > 0 mit  $k(e) \cdot f(e)/c(e)$  beschriftet sind:



Seine Größe ist 
$$|f| = f(\{s\}) = 11 + 4 - 3 = 12$$
 und seine Kosten sind  $k(f) = \sum_{f(e)>0} k(e)f(e) = (12+11+5+4+9)+2(11+6+3)-3-4 = 90.$ 

Ist k(e) < 0 so bedeuten Kosten in Höhe von k(e)f(e) einen Gewinn in Höhe von -k(e)f(e) und umgekehrt. Erhöhen wir den Fluss f(e) durch eine Kante e um a, so fallen dafür Kosten in Höhe von  $k(e) \cdot a$  an. Entsprechend verursacht eine Erniedrigung von f(e) um a einen Gewinn von  $k(e) \cdot a$  (bzw. Kosten in Höhe von  $-k(e) \cdot a$ ). Da eine Erhöhung von f(e) um a den Fluss  $f(e^R) = -f(e)$  durch  $e^R$  um a erniedrigt, muss also  $k(e^R) = -k(e)$  sein. Möchten wir für eine Kante e = (u, v) einen anderen Kostenfaktor b als  $-k(e^R)$  haben, so können wir einen neuen Knoten w zu V hinzufügen und die Kante e durch den Pfad P = (u, w, v) ersetzen. Nun kann k(P) unabhängig vom Wert  $k(e^R)$  mittels k(u, w) = b und k(w, v) = 0 auf den gewünschten Wert b gesetzt werden.

Wir betrachten in diesem Abschnitt also Netzwerke der Form N = (V, E, s, t, c, k), wobei k eine antisymmetrische Funktion  $k: V \times V \to \mathbb{Z}$  mit  $k(e) = -k(e^R)$  für alle  $e \in V \times V$  ist. Zudem definieren wir für beliebige Multimengen F von Kanten  $e \in V \times V$  den **Kostenfaktor von F** als  $k(F) = \sum_{e \in F} v_F(e)k(e)$ . Jede Kante  $e \in F$  wird bei der Berechnung von k(F) also entsprechend der Häufigkeit  $v_F(e)$  ihres Vorkommens in F berücksichtigt. Wir nennen F **negativ**, falls k(F) < 0 ist. Für einen Fluss f sei

$$k_{\min}(f) = \min\{k(g) \mid g \text{ ist ein Fluss in } N \text{ mit } |g| = |f|\}$$

das Minimum der Kosten k(g) aller Flüsse g in N der Größe |g| = |f|. Das nächste Lemma liefert einen Algorithmus, mit dem sich überprüfen lässt, ob ein Fluss minimale Kosten unter allen Flüssen seiner Größe hat.

**Lemma 3.31.** Ein Fluss f in N hat genau dann minimale Kosten  $k(f) = k_{\min}(f)$ , wenn es im Restnetzwerk  $N_f$  keinen negativen Kreis K mit k(K) < 0 gibt.

Beweis. Falls es in  $N_f$  einen negativen Kreis K gibt, können wir den Fluss durch alle Kanten  $e \in K$  um eins erhöhen, um einen Fluss g der Größe |q| = |f| mit k(q) = k(f) + k(K) < k(f) zu erhalten.

Sei nun umgekehrt g ein Fluss in N mit |g| = |f| und k(g) < k(f). Wegen  $g(e) - f(e) \le c(e) - f(e)$  ist dann h = g - f ein Fluss im Restnetzwerk  $N_f = (V, E_f, s, t, c_f, k)$ . Da h die Größe |h| = |g| - |f| = 0 hat, können wir h als Summe von Flüssen  $f_{K_1}, \ldots, f_{K_\ell}$  in  $N_f$  darstellen, wobei jeder Fluss  $f_{K_i}$  nur für Kanten e auf einem Kreis  $K_i$  in  $(V, E_f)$  einen positiven Wert  $f_{K_i}(e) = w_i > 0$  annimmt (siehe nächsten Abschnitt). Wegen  $k(f_{K_1}) + \cdots + k(f_{K_\ell}) = k(g - f) = k(g) - k(f) < 0$  und  $k(f_{K_i}) = \sum_{e \in K_i} f_{K_i}(e)k(e) = w_i k(K_i)$  muss mindestens ein Kreis  $K_i$  negativ sein.

Um für  $i=0,\ldots,\ell-1$  den Fluss  $f_{K_{i+1}}$  und den zugehörigen Kreis  $K_{i+1}$  zu finden, wählen wir eine beliebige Kante  $e_{i,1}$  aus  $E_f$ , für die der Fluss  $r_i=h-f_{K_1}-\cdots-f_{K_i}$  einen minimalen positiven Wert  $w_i=r_i(e_{i,1})>0$  annimmt. Falls es keine Kante  $e\in E_f$  mit  $r_i(e)>0$  gibt, sind wir fertig, weil dann  $r_i$  der Nullfluss mit  $r_i(e)=0$  für alle  $e\in V\times V$  und somit  $\ell=i$  ist.

Andernfalls benutzen wir die Tatsache, dass  $r_i$  wie h und die bereits gefundenen Flüsse  $f_{K_1}, \ldots, f_{K_i}$  den Wert 0 hat, um einen negativen Kreis  $K_{i+1}$  zu finden. Wegen  $|r_i| = 0$  erfüllt  $r_i$  nämlich die Kontinuitätsbedingung auch für die Knoten s und t. Daher können wir  $K_{i+1}$  wie folgt konstruieren.

• Beginnend mit j=1 wählen wir zu jeder Kante  $e_{i,j}=(u,v)$  solange eine Fortsetzung  $e_{i,j+1}=(v,w)\in E_f$  mit  $r_i(e_{i,j+1})>0$ , bis sich ein Kreis  $K_{i+1}$  schließt.

Nun setzen wir  $f_{K_{i+1}}(e_{i,j}) = w_i$  für alle Kanten  $e_{i,j}$  auf dem Kreis  $K_{i+1}$  und  $f_{K_{i+1}}(e_{i,j}) = 0$  für alle Kanten außerhalb von  $K_{i+1}$ . Da die Anzahl der Kanten in  $E_f$ , die unter dem Fluss  $r_{i+1}$  den Wert 0 haben, gegenüber  $r_i$  mindestens um eins zunimmt, ist die Anzahl  $\ell$  der gefundenen Kreise durch  $\ell \leq |E_f| \leq 2m$  beschränkt.

Mithilfe von Lemma 3.31 lässt sich nun ein maximaler Fluss mit minimalen Kosten wie folgt berechnen. Wir berechnen zuerst einen maximalen Fluss f und setzen  $f_0 = f$ . Dann berechnen wir für  $i = 0, 1, \ldots$  einen negativen Kreis  $K_{i+1}$  in  $N_{f_i}$ . Hierzu fügen wir dem Digraphen

 $(V, E_{f_i}, k)$  einen neuen Knoten s' hinzu und verbinden s' mit allen Knoten  $u \in V$  durch eine neue Kante (s', u) mit k(s', u) = 0. Dann suchen wir mit dem Bellman-Ford-Moore (BFM) Algorithmus in dem resultierenden Digraphen  $G_i = (V \cup \{s'\}, E_{f_i} \cup \{(s', u) \mid u \in V\}, k)$  nach einem negativen Kreis  $K_{i+1}$ .

Falls es in G' keinen negativen Kreis gibt, ist  $f_i$  ein maximaler Fluss in N mit minimalen Kosten. Andernfalls benutzen wir den Fluss  $f_{K_{i+1}}$ , der auf jeder Kante e auf  $K_{i+1}$  den Wert  $f_{K_{i+1}}(e) = c_{f_i}(K_{i+1}) = \min\{c_{f_i}(e) \mid e \in K_{i+1}\}$  und außerhalb von  $K_{i+1}$  den Wert 0 hat, um den Fluss  $f_{i+1} = f_i + f_{K_{i+1}}$  zu erhalten.

Da sich die Kosten  $k(f_{i+1}) = k(f_i) + k(f_{K_i}) = k(f_i) + c_{f_i}(K_i)k(K_i)$  von  $f_{i+1}$  wegen  $k(K_i) \leq -1$  bei jeder Iteration um mindestens 1 verringern und die Kostendifferenz zwischen zwei beliebigen Flüssen in  $N_f$  durch  $D = \sum_{e \in E} |k(e)|(c(e) + c(e^R))$  beschränkt ist, ist  $f_\ell$  nach  $\ell \leq D$  Iterationen ein kostenminimaler Fluss.

Da der BFM-Algorithmus in Zeit O(mn) läuft, führt dies auf eine Laufzeit von O(Dmn), um die Kosten von  $f_0$  zu minimieren. Berechnen wir  $f_0$  mit Dinitz in Zeit  $O(n^3)$ , so erhalten wir folgenden Satz.

**Satz 3.32.** In einem Netzwerk N kann ein maximaler Fluss f mit minimalen Kosten in Zeit  $O(n^3 + Dmn)$  bestimmt werden.

Das nächste Lemma zeigt einen Weg, wie sich in einem Netzwerk ohne negative Kreise ein maximaler Fluss f mit minimalen Kosten in Zeit O(|f|mn) berechnen lässt.

**Lemma 3.33.** Sei  $f_i$  ein Fluss in N mit  $k(f_i) = k_{\min}(f_i)$ . Dann ist  $f_{i+1} = f_i + f_{P_{i+1}}$  für jeden Zunahmepfad  $P_{i+1}$  in  $N_{f_i}$  mit

$$k(P_{i+1}) = \min\{k(P') \mid P' \text{ ist ein Zunahmepfad in } N_{f_i}\}$$

ein Fluss in N mit  $k(f_{i+1}) = k_{\min}(f_{i+1})$ .

Beweis. Unter der Annahme, dass  $k(f_{i+1}) > k_{\min}(f_{i+1})$  ist, gibt es nach Lemma 3.31 einen negativen Kreis K in  $N_{f_{i+1}}$ . Wir benutzen K, um  $P_{i+1}$  in einen Zunahmepfad P' in  $N_{f_i}$  mit  $k(P') < k(P_{i+1})$  zu transformieren.

Sei  $F = K + P_{i+1}$  die Multimenge aller Kanten, die auf K oder  $P_{i+1}$  liegen, d.h. jede Kante in  $K \Delta P_{i+1} = (K \setminus P_{i+1}) \cup (P_{i+1} \setminus K)$  kommt genau einmal und jede Kante in  $K \cap P_{i+1}$  kommt genau zweimal in F vor. F ist also ein Multigraph bestehend aus dem s-t-Pfad  $P_{i+1}$  in  $N_{f_i}$  und dem Kreis K in  $N_{f_{i+1}}$  und es gilt  $k(F) = k(P_{i+1}) + k(K) < k(P_{i+1})$ . Um in F einen s-t-Pfad P' von  $N_{f_i}$  mit  $k(P') < k(P_{i+1})$  zu finden, entfernen wir wie folgt alle Kanten in  $\hat{F} = F \setminus E_{f_i} = K \setminus E_{f_i}$  aus F. Wegen  $\hat{F} \subseteq K \setminus P_{i+1}$  kommt jede Kante  $e \in \hat{F}$  genau einmal in F vor. Zudem wird jede Kante  $e \in \hat{F}$  wegen

- $f_i(e) = c(e)$  (da  $e \notin E_{f_i}$ ) zwar von  $f_i$ , aber wegen
- $e \in K \subseteq E_{f_{i+1}}$  nicht von  $f_{i+1}$  gesättigt.

Daher muss  $f_i(e) \neq f_{i+1}(e)$  und somit  $e^R \in P_{i+1}$  sein (da  $e \notin P_{i+1}$ ). Wegen  $e^R \in P_{i+1} \setminus K$  (da  $e \in K$ ) kommt also für jede Kante  $e \in \hat{F}$  auch  $e^R$  genau einmal in F vor.

Entfernen wir nun alle solchen Kantenpaare  $e, e^R$  aus F, so erhalten wir die Multimenge  $F' = F \setminus (\hat{F} \cup \hat{F}^R) \subseteq E_{f_i}$ , die wegen  $k(e) + k(e^R) = 0$  dieselben Kosten  $k(F') = k(F) < k(P_{i+1})$  wie F hat. Da F' zudem aus F durch Entfernen von Kreisen (der Länge 2) entsteht, ist F' wie F ein Multigraph, der sich in einen s-t-Pfad P' und eine gewisse Anzahl  $\ell \geq 0$  von Kreisen  $K_1, \ldots, K_\ell$  in  $N_{f_i}$  zerlegen lässt. Da nach Voraussetzung keine negativen Kreise in  $N_{f_i}$  existieren, folgt

$$k(P') = k(F') - \sum_{i=1}^{\ell} k(K_i) \le k(F') = k(F) < k(P_{i+1}).$$

Basierend auf Lemma 3.33 können wir nun folgenden Algorithmus zur Bestimmung eines maximalen Flusses mit minimalen Kosten in einem Netzwerk N angeben, das keine negativen Kreise enthält.

3 Flüsse in Netzwerken 3.4 Kostenoptimale Flüsse

#### **Algorithmus** Min-Cost-Flow(V, E, s, t, c, k)

```
for all (u,v) \in V \times V do f(u,v) := 0 \text{while } P := \min\text{-zunahmepfad}(f) \neq \bot \text{ do} \text{addierepfad}(f,P)
```

Hierbei berechnet die Prozedur  $\min$ -zunahmepfad(f) einen Zunahmepfad P in  $N_f$  mit minimalen Kosten. Da dann der Fluss  $f' = f + f_P$  nach obigem Lemma minimale Kosten  $k(f') = k_{\min}(f')$  in N hat, hat auch  $N_{f'}$  keine negativen Kreise. Daher kann P bspw. mit dem BFM-Algorithmus berechnet werden, der in Zeit O(mn) läuft. Dies führt auf eine Gesamtlaufzeit von O(Mmn), wobei M = |f| die Größe eines maximalen Flusses f in N ist.

Tatsächlich lässt sich für Netzwerke ohne negative Kreise die Laufzeit unter Verwendung des Dijkstra-Algorithmus in Kombination mit einer Preisfunktion auf  $O(mn + |f|m \log n)$  verbessern.

**Satz 3.34.** In einem Netzwerk N kann ein maximaler Fluss f mit minimalen Kosten in Zeit  $O(mn + |f|m \log n)$  bestimmt werden, falls N keine negativen Kreise hat.

**Definition 3.35.** Sei G = (V, E, k) ein Digraph mit Kostenfunktion  $k : E \to \mathbb{Z}$ . Eine Funktion  $p : V \to \mathbb{Z}$  heißt **Preisfunktion** für G, falls für jede Kante e = (x, y) in E die Ungleichung

$$k(x,y) + p(x) - p(y) \ge 0$$

gilt. Die bzgl. p reduzierte Kostenfunktion  $k^p: E \to \mathbb{N}_0$  ist

$$k^{p}(x,y) = k(x,y) + p(x) - p(y).$$

**Lemma 3.36.** Ein Digraph G = (V, E, k) mit Kostenfunktion  $k : E \to \mathbb{Z}$  hat genau dann keine negativen Kreise, wenn es eine Preisfunktion p für G gibt. Zudem lässt sich eine geeignete Preisfunktion p in Zeit O(nm) finden.

Beweis. Wir zeigen zuerst die Rückwärtsrichtung. Sei also p eine Preisfunktion mit  $k^p(e) \geq 0$  für alle  $e \in E$ . Dann gilt für jede Kantenmenge  $F \subseteq E$  die Ungleichung  $k^p(F) \geq 0$ . Da zudem für jeden Kreis K in G die Gleichheit  $k(K) = k^p(K)$  gilt, folgt sofort  $k(K) = k^p(K) \geq 0$ . Für die Vorwärtsrichtung sei nun G = (V, E, k) ein Digraph ohne negative Kreise. Betrachte den Digraphen G' = (V', E', k'), der aus G durch Hinzunahme eines Knotens s' und von Kanten (s', x) mit k'(s', x) = 0 für alle  $x \in V$  entsteht. Dann gibt es auch in G' keine negativen Kreise und wir können mit BFM für jeden Knoten  $x \in V$  einen bzgl. k' kürzesten Pfad  $P_x$  von s nach x in Zeit O(mn) berechnen. Setzen wir p(x) gleich der Länge von  $P_x$ , so gilt für jede Kante  $e = (u, v) \in E$  die Ungleichung

$$p(v) \le p(u) + k(u, v),$$

d.h. p(x) ist die gesuchte Preisfunktion für G.

Um einen maximalen Fluss mit minimalen Kosten in einem Netzwerk N = (V, E, s, t, c, k) in Zeit  $O(mn + |f|m \log n)$  zu berechnen, rufen wir zuerst BFM mit Startknoten s' auf, um nach einem negativen Kreis K im erweiterten Digraphen G' = (V', E', k') zu suchen. Wird K nicht gefunden, liefert BFM hierbei eine Preisfunktion  $p_0$  für das Netzwerk  $N_0 = N_{f_0} = N$ , wobei  $f_0$  der Nullfluss in N ist. Nun können wir mit Dijkstra für  $i = 0, 1, \ldots$  in Zeit  $O(m \log n)$ 

- ullet einen bzgl.  $k^{p_i}$  kürzesten Zunahmepfad  $P_{i+1}$  in  $N_{f_i}^{p_i}$  und
- einen Fluss  $f_{i+1} = f_i + f_{P_{i+1}}$  der Größe  $|f_{i+1}| > |f_i|$  mit minimalen Kosten  $k(f_{i+1}) = k_{min}(f_{i+1})$
- sowie eine Preisfunktion  $p_{i+1}$  für  $N_{f_{i+1}}$  berechnen.

Ein bzgl.  $k^{p_i}$  kürzester s-t-Pfad P ist nämlich auch bzgl. k ein kürzester s-t-Pfad, da  $k^{p_i}(P) = k(P) + p_i(s) - p_i(t)$  und  $p_i(s) - p_i(t)$  eine von P unabhängige Konstante ist. Zudem lässt sich aus  $p_i$  nach folgendem Lemma eine Preisfunktion  $p_{i+1} = p_i + \ell_i$  für k in  $N_{f_{i+1}}$  finden, wobei  $\ell_i(x)$  die minimale Pfadlänge von s nach x in  $N_{f_i}^{p_i}$  ist.

3.4 Kostenoptimale Flüsse

Dabei kann  $\ell_i$  und somit auch  $p_{i+1}$  von Dijkstra zusammen mit  $P_{i+1}$  ohne nennenswerten Mehraufwand gleich mitberechnet werden.

**Lemma 3.37.** Sei  $\ell_i(x)$  die minimale Pfadlänge von s nach x in  $N_{f_i}$  bzgl.  $k^{p_i}$ , wobei  $p_i: V \to \mathbb{Z}$  eine beliebige Funktion ist. Dann ist  $p_{i+1}(x) = p_i(x) + \ell_i(x)$  eine Preisfunktion für k in  $N_{f_{i+1}}$ .

Beweis. Wir zeigen zuerst, dass  $p_{i+1}$  eine Preisfunktion für k in  $N_{f_i}$  ist. Da  $\ell_i(v) \leq \ell_i(u) + k^{p_i}(e)$  und  $k^{p_i}(e) = k(e) + p_i(u) - p_i(v)$  für jede Kante  $e = (u, v) \in E_{f_i}$  gilt, folgt

$$k^{p_{i+1}}(e) = k(e) + p_{i+1}(u) - p_{i+1}(v)$$

$$= k(e) + p_i(u) + \ell_i(u) - p_i(v) - \ell_i(v)$$

$$= k^{p_i}(e) + \ell_i(u) - \ell_i(v) \ge 0$$

d.h.  $p_{i+1}$  ist eine Preisfunktion für k in  $N_{f_i}$ . Falls e auf  $P_{i+1}$  liegt, gilt sogar  $k^{p_{i+1}}(e) = 0$ , da  $P_{i+1}$  ein bzgl.  $k^{p_i}$  kürzester s-t-Pfad in  $N_{f_i}$  und daher  $\ell_i(v) = \ell_i(u) + k^{p_i}(e)$  ist. Da zudem für jede Kante e in  $N_{f_{i+1}}$ , die nicht zu  $N_{f_i}$  gehört, die Kante  $e^R$  auf dem Pfad  $P_{i+1}$  liegt, folgt wegen  $k^{p_{i+1}}(e^R) = 0$ ,

$$k^{p_{i+1}}(e) = k(e) + p_{i+1}(u) - p_{i+1}(v)$$
  
=  $-k(e^R) - p_{i+1}(v) + p_{i+1}(u) = -k^{p_{i+1}}(e^R) = 0,$ 

d.h.  $p_{i+1}$  ist auch eine Preisfunktion für k in  $N_{f_{i+1}}$ .